

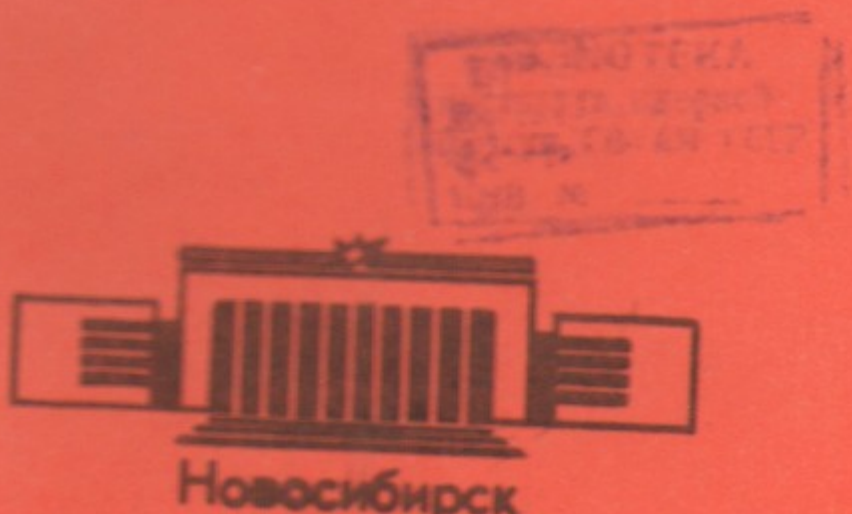
ИНСТИТУТ ЯДЕРНОЙ ФИЗИКИ  
СО АН СССР

30

С.А.Никитин,  
Е.Л.Салдин, М.В.Юрков

о возможности получения  
продольно поляризованных  
встречных пучков на накопителе  
ВЭПП—4 в области энергий  
иpsilon—резонансов

ПРЕПРИНТ 81-116



о возможности получения продольно поляризованных встречных  
пучков на накопителе ВЭПИ-4 в области энергий иpsilon-  
резонансов

С.А. Никитин, Е.Л. Салдин, М.В. Юрков

А Н Н О Т А Ц И Я

Рассчитан вариант получения продольной поляризации в центре магнитного детектора с поперечным магнитным полем (MD) при помощи сверхпроводящих соленоидов, расположенных в прямолинейных промежутках по обе стороны от MD. Возмущение, вносимое соленоидами в орбитальное движение, и их деполяризующее воздействие на спин компенсируется за счет специального выбора оптики экспериментального промежутка. При этом удалось одновременно получить приемлемую разновесную степень продольной поляризации и фокусировку пучков в месте встречи, близкую к обычной. Сделана оценка деполяризующего влияния погрешностей магнитной системы.

## § I. Введение

В работе [1] разработана схема получения встречных продольно поляризованных пучков в области  $\psi$ -резонансов. Схема основана на использовании соленоида, размещенного в техническом промежутке накопителя ВЭШ-4 и поворачивающего спин на угол  $\pi$ . Возможность получения продольной поляризации пучков таким простейшим способом основана на замечательной особенности комплекса ВЭШ-4, а именно, на наличии бустерного накопителя ВЭШ-3 с коротким временем поляризации на энергии перепуска.

Данная работа посвящена разработке схемы получения продольной поляризации пучков на накопителе ВЭШ-4 в области илон-резонансов. Упрощение такой задачи во многом обязано другой уникальной особенности накопителя ВЭШ-4: в его экспериментальном промежутке размещен магнитный детектор (МД) с вертикальным полем, поворачивающим спин на угол  $\pi$  (на энергии  $\gamma'$ -резонанса угол поворота равен  $182^\circ$ ). Это позволяет получать продольную поляризацию в центре МД и восстанавливать вертикальную поляризацию в полукольцах с помощью соленоидов, размещенных в прямолинейных промежутках по обе стороны от МД (см.схему на рис. I).

Сформулируем проблемы, которые возникают при решении поставленной задачи:

- 1) компенсация связи, вносимой соленоидами в бетатронное движение;
- 2) сохранение оптимальной фокусировки пучков в месте встречи (центр МД);
- 3) компенсация деполяризующего влияния соленоидов с целью получения достаточно высокой степени продольной поляризации;
- 4) минимальность переделок накопителя (размещения вставок с соленоидами на существующих прямолинейных участках экспериментального промежутка).

Для удовлетворения перечисленных требований нами выбрана следующая схема. Каждая вставка с соленоидами вращает спин вокруг оси на угол  $45^\circ$  (из геометрии ясно, что при этом степень продольной поляризации меньше  $\frac{\sqrt{2}}{2}$ ). Вставка имеет полную длину 10 м и состоит из 2-х соленоидов длиной 85 см и про-

дольным полем  $\sim 80$  кГс, каждый из которых вращает спин на угол  $\varphi = 22,5^\circ$ . Между соленоидами размещены 6 квадрупольных линз (длина каждой 80 см, градиент поля  $\sim 3$  кГс/см), с помощью которых связь бетатронных колебаний локализована на участке вставки. При этом вертикальные колебания на остальной части накопителя не возбуждаются из-за отсутствия синхротронного излучения на вставке.

В рассматриваемой схеме удалось подбором параметров магнитной структуры экспериментального промежутка ВЭШ-4 достичь фокусировки пучков в месте встречи достаточно близкой к существующей в обычном варианте накопителя.

Общая оптимизация структуры вставок и экспериментального промежутка кроме того включала в себя компенсацию спин-орбитальной связи, вносимой соленоидами. Важным моментом при этом является учет вклада бетатронного движения в кинетику спина. Степень продольной поляризации существенно зависит от бетатронной частоты и достигает в выбранной схеме  $\sim 50\%$ .

В предлагаемом варианте размещения вставок в экспериментальном промежутке остается без изменения центральный участок МД с прилегающими к нему с обеих сторон двумя дублетами и участок с затухателем и 2-х градусным поворотным магнитом.

Таким образом, имеются реальные предпосылки для разработки детального проекта получения продольной поляризации пучков для экспериментов по измерению вклада слабых взаимодействий в сечение  $\gamma^0$  - резонансов [2].

## § 2. Компенсация связи, вносимой соленоидами в поперечное движение, и оптимизация магнитной структуры экспериментального промежутка

Действие сильных продольных полей в обсуждаемой схеме на бетатронное движение необходимо компенсировать таким образом, чтобы избежать появления в пучке значительного вертикального фазового объема. Для этого, как и в работе [1], нами применен способ локализации связи поперечных колебаний на участке специальной вставки с соленоидами. Способ состоит в организации такой фокусировки у вставки, чтобы радиальные колебания частиц, возбуждаемые квантовыми флуктуациями излучения в кольце, переходили в вертикальные отклонения только внутри самой вставки. При этом возбуждение вертикального фазового объема в остальной части кольца не происходит из-за отсутствия синхротронного излучения на вставке. Локализация связи осуществляется в схеме<sup>x</sup>, которая состоит из 2-х одинаковых соленоидов (углы поворота спина в них равны  $\varphi_1 = \varphi_2 = \varphi$ ) и 6-ти обычных квадрупольных линз между ними (рис. 2)

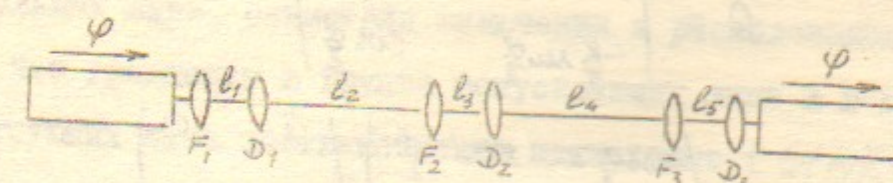


Рис. 2

Матрицу преобразования фазового пространства ( $X, X', Z, Z'$ ) при полном прохождении частицей соленоида можно представить в виде (см., например [3])

$$M_s = \begin{pmatrix} R_1 & R_2 \\ -R_2 & R_1 \end{pmatrix} \quad (I)$$

<sup>x</sup> Мы благодарим В.Н.Литвиненко за указание на возможность использования такой схемы.

где  $R_1$  и  $R_2$  - блочные матрицы  $2 \times 2$ :

$$R_1 = \begin{pmatrix} \frac{1+\cos\alpha}{2} & \frac{\sin\alpha}{K} \\ -\frac{K \sin\alpha}{2} & \frac{1+\cos\alpha}{2} \end{pmatrix}, R_2 = \begin{pmatrix} \frac{\sin\alpha}{2} & \frac{1-\cos\alpha}{K} \\ -\frac{K(1-\cos\alpha)}{2} & \frac{\sin\alpha}{2} \end{pmatrix}$$

Здесь  $\alpha = K l_s$ ,  $l_s$  - длина соленоида,  $K = H_u / HR$   
( $H_u$  - поле соленоида,  $HR$  - жесткость накопителя).

Угол  $\alpha$  с точностью  $10^{-3}$  для электрона равен углу поворота спина  $\varphi$ .

Можно также записать, что

$$M_s = \begin{pmatrix} Q & 0 \\ 0 & Q \end{pmatrix} R_+$$
 (2)

где использовано известное свойство матрицы соленоида [3]:

$$M_s R_- = \begin{pmatrix} Q & 0 \\ 0 & Q \end{pmatrix}$$
 (3)

$$Q = \begin{pmatrix} \cos\frac{\alpha}{2} & \frac{1}{K} \sin\frac{\alpha}{2} \\ -\frac{K \sin\alpha}{2} & \cos\frac{\alpha}{2} \end{pmatrix}$$

$$R_\pm = \begin{pmatrix} \cos\frac{\alpha}{2} & \pm \frac{\sin\alpha}{2} \\ \mp \frac{\sin\alpha}{2} & \cos\frac{\alpha}{2} \end{pmatrix} \begin{pmatrix} I & 0 \\ 0 & I \end{pmatrix}$$

(I - единичная матрица  $2 \times 2$ )

Матрица фокусирующей системы из последовательности обычных квадрупольных линз, помещенных между соленоидами, имеет вид

$$T = \begin{pmatrix} T_1 & 0 \\ 0 & T_2 \end{pmatrix}$$

Где  $T_{1,2}$  - блочные матрицы  $2 \times 2$  по  $X$  и  $Z$  - направлениям.  
Найдем полное преобразование на всей вставке с учетом представления (2):

$$M_{tot} = M_s T M_s =$$

$$= \begin{pmatrix} \cos^2\frac{\alpha}{2} Q T_1 Q - \sin^2\frac{\alpha}{2} Q T_2 Q & \sin\frac{\alpha}{2} [Q T_1 Q + Q T_2 Q] \\ -\sin\frac{\alpha}{2} [Q T_1 Q + Q T_2 Q] & \cos^2\frac{\alpha}{2} Q T_2 Q - \sin^2\frac{\alpha}{2} Q T_1 Q \end{pmatrix} \quad (4)$$

Условие локализации связи на вставке требует, чтобы диагональные члены в  $M_{tot}$  равнялись нулю. Из этого требования следует<sup>\*</sup>

$$T_1 = -T_2 \quad (5)$$

при этом

$$M_{tot} = \begin{pmatrix} Q T_1 Q & 0 \\ 0 & -Q T_1 Q \end{pmatrix}$$

Условие (5) не зависит от  $\alpha$  и поэтому справедливо для любых соленоидов в данной схеме. Для реализации (5) используются 6 квадрупольных линз, симметрия включения и расположения которых такова, что градиенты в группе фокусирующих линз и в группе дефокусирующих линз соответственно одинаковые ( $G(F_1) = G(F_2) = G(F_3)$ ,  $G(D_1) = G(D_2) = G(D_3)$ ), а  $l_1 = l_3 = l_5$ ,  $l_4 = l_2$ . Длина у всех линз одна и та же. Перестановка фокусирующих и дефокусирующих линз местами ведет лишь к изменению общего знака  $M_{tot}$  (5). В то же время изменение знака угла поворота

\* Если бы углы поворота спина в соленоидах были противоположны ( $\varphi_1 = -\varphi_2$ ), мы бы пришли к условию  $T_1 = T_2$ .

спина  $\varphi$  никак не меняет  $M_{tot}$  (см. (4) и (5)). Приведем параметры выбранной нами схемы, рассчитанной на ЭВМ методом случайного поиска:

энергия $E$ (GeV)	= 5
угол поворота спина $\varphi$	= $22,5^\circ$
длина соленоида $l_s$ (см)	= 85
поле соленоида (кГс)	= 77
градиент $F$ -линз (кГс/см)	= 2.3186
градиент $D$ -линз (кГс/см)	= 3.0000
длина линз (см)	= 80
$l_1$ (см)	= 10
$l_2$ (см)	= 160
полная длина вставки (см)	= 1000

Матрица  $M_{tot}$  такой вставки очень напоминает единичную матрицу (с точностью до знака в одном из блоков  $2 \times 2$ )

$$M_{tot} = \begin{pmatrix} 0.994 & 11.7 & 0 & 0 \\ -0.001 & 0.995 & 0 & 0 \\ 0 & 0 & -0.994 & -11.7 \\ 0 & 0 & 0.001 & -0.995 \end{pmatrix}$$

Выбор структуры вставки был неразрывно связан с оптимизацией всего экспериментального промежутка в целом. Оптимизация велась по 3-м основным пунктам. Это, во-первых, сохранение единичности промежутка с тем, чтобы не перестраивать фокусировку остальной части накопителя. Во-вторых, обеспечение в месте встречи (центр  $MD$ ) такой же фокусировки, что и в обычном варианте накопителя. В-третьих, получение оптимальных параметров спин-орбитальной связи, которая в данной схеме существенно зависит

от фокусировки. Наконец, при всем этом мы стремились удовлетворить условию минимальности переделок промежутка. С учетом последнего были оставлены нетронутыми два больших участка промежутка: центральный участок  $MD$  с прилегающими к нему с двух сторон двумя симметричными дублетами, которые служат для создания минимума  $\beta$ -функций в месте встречи; и участок затухателя с двухградусным магнитом. Кроме 2-х вставок и перечисленных нетронутых элементов в структуру промежутка включены еще 5 квадрупольных линз. Оптимальное согласование градиентов во всех линзах проводилось с помощью программы [4]. На рис. 3 показан вид  $\beta$ -функций в полученном варианте промежутка. В месте встречи при этом

$$\beta_z = 55 \text{ см}$$

$$\beta_x = 670 \text{ см}$$

(в обычном варианте накопителя  $\beta_z = 45 \text{ см}$ ,  $\beta_x = 400 \text{ см}$ ).

В заключении приведем данные о требуемой полной апертуре камеры на участках вставок с соленоидами. На рис. 4 и рис. 5 показано поведение проекций полной апертуры камеры на оси  $X$  и  $Z$  ( $2A_x$  и  $2A_z$ ) внутри первой и второй вставок. За

основу принята апертура в кольце накопителя, соответствующая расстоянию от центра камеры до ее стенок —  $10\tilde{\beta}_{x,z}$ , где

$\tilde{\beta}_{x,z}$  — размеры пучка на энергии 5 GeV. Величина  $\tilde{\beta}_{x,z}$  подставлялась из данных по измерению размеров пучка на ВЭШ-4.

### § 3 Кинетика поляризации

Согласно работе [5] в накопителе с произвольной магнитной структурой всегда существует периодическое решение в движении спина  $\vec{n}(\theta) = \vec{n}(\theta + 2\pi)$ , где  $\vec{n}$  - направление спина на азимуте  $\theta$  ( $|\vec{n}| = 1$ ). Равновесная степень радиационной поляризации частиц равна [6]:

$$\zeta = \frac{8}{5\sqrt{3}} \frac{\langle |\vec{v}|^2 \vec{v} \times \vec{v} (\vec{n} - \gamma \frac{d\vec{n}}{dr}) \rangle}{\langle |\vec{v}|^3 [1 - \frac{2}{9}(\vec{n} \cdot \vec{v})^2 + \frac{11}{18}(\frac{d\vec{n}}{dr})^2] \rangle} \quad (1)$$

где  $\vec{v}$ ,  $\vec{v}'$  - скорость и ускорение частицы ( $C = 1$ ) на азимуте  $\theta$ ,  $\gamma \frac{d\vec{n}}{dr}$  - параметр спин-орбитальной связи, скобки  $\langle \dots \rangle$  означают усреднение по азимуту накопителя.

Физический смысл параметра  $\gamma \frac{d\vec{n}}{dr}$  можно пояснить следующим образом. При движении частицы по равновесной траектории проекция спина на ось  $\vec{n}$  является интегралом движения т.е.

$S_{\vec{n}} = \vec{S} \cdot \vec{n} = \text{const}$ . Пусть на азимуте  $\theta_0$  частица испытала скачок в энергии  $\delta E$ . Будем полагать, что направление спина при скачке не меняется. При движении частицы по неравновесной траектории на спин действуют дополнительные поля, которые отклоняют его от равновесного направления  $\vec{n}$ . За время радиационного затухания  $\lambda^{-1}$  орбитальное движение релаксирует к равновесному, однако проекция  $S_{\vec{n}}$  при этом не восстанавливается. Набранное за это время изменение  $\delta S_{\vec{n}}$  можно представить в виде ( $\vec{S} \cdot \delta \vec{S} = 0$ ):

$$\delta S_{\vec{n}} = - \vec{S}(\theta_0 + 2\pi N) \cdot \vec{\delta S}_{\perp}(\theta_0 + 2\pi N) / S_{\vec{n}} \quad (2)$$

где  $\vec{\delta S}_{\perp}$  - изменение спина, ортогональное к  $\vec{n}$ , обусловленное действием на спин дополнительных полей,  $N$  - число оборотов, совершенных частицей с момента скачка энергии. Обозначим через  $\vec{\delta S}_{\perp}^k$  - дополнительное изменение поперечной компоненты спина на  $k$ -обороте. Вследствие малости возмущающих полей всегда можно записать, что

$$\vec{\delta S}_{\perp}^k(\theta) = \vec{a}_k(\theta) S_{\vec{n}} \frac{\delta \gamma}{\gamma} e^{-2\pi k \lambda} \quad (3)$$

Суммарное изменение спина за  $N$  оборотов составит

$$\vec{\Delta S}_{\perp}(N) = \text{Re} \left[ \sum_{k=1}^N \vec{\delta S}_{\perp}^k e^{i 2\pi (N-k) \lambda} \right] + \vec{n} \times \vec{J}_m \left[ \sum_{k=1}^N \vec{\delta S}_{\perp}^k e^{i 2\pi (N-k) \lambda} \right] \quad (4)$$

( $\lambda$  - частота процессии спина вокруг  $\vec{n}$ ). Выделим в явном виде вращение в выражении (4):

$$\vec{\Delta S}_{\perp}(N) = \vec{b} \cos 2\pi N \lambda + \vec{n} \times \vec{b} \sin 2\pi N \lambda \quad (5)$$

Из (3-5) имеем:

$$\vec{b} = S_{\vec{n}} [\vec{P} + \vec{n} \times \vec{Q}] \frac{\delta \gamma}{\gamma} \quad (6)$$

где

$$\vec{P} = \text{Re} \left[ \sum_{k=1}^N \vec{a}_k e^{-i 2\pi k (\lambda - i \lambda)} \right],$$

$$\vec{Q} = \vec{J}_m \left[ \sum_{k=1}^N \vec{a}_k e^{-i 2\pi k (\lambda - i \lambda)} \right], \quad \vec{P} \cdot \vec{n} = \vec{Q} \cdot \vec{n} = 0$$

Для  $2\pi N \lambda \gg 1$   $\vec{P}$  и  $\vec{Q}$  независят от  $N$ . Учитывая, что

$$\vec{S}(\theta_0 + 2\pi N) = (\vec{S} \cdot \vec{n}) \vec{n} + \vec{S}_{\perp}(\theta_0) \cos 2\pi N \lambda + \vec{n} \times \vec{S}_{\perp}(\theta_0) \sin 2\pi N \lambda,$$

и подставляя (6) в (2), получим

$$\delta S_{\vec{n}} = - \vec{S}(\theta_0) [\vec{P} + \vec{n} \times \vec{Q}] \frac{\delta \gamma}{\gamma}$$

Исходя из определения параметра спин-орбитальной связи [6-8] :

$$\delta S_{\vec{n}} = \vec{S} \cdot (\gamma \frac{d\vec{n}}{dr}) \frac{\delta \gamma}{\gamma}$$

имеем в итоге \*)

$$r \frac{d\vec{n}}{dr} = -[\vec{P} + \vec{n} \times \vec{Q}] \quad (7)$$

На рис. I приведена кинематика движения спина в рассматриваемом нами способе получения продольной поляризации \*\*). Выражение для  $\vec{n}$  при любой энергии и произвольных, но одинаковых углах поворота в соленоидах получено в приложении I. В случае, если угол поворота спина в магнитном детекторе МД равен  $\pi$ , то в полукольцах  $\vec{n}$  направлен вертикально, а в детекторе его проекции равны

$$n_x(\theta) = -\sin 2\varphi \cos d, n_y(\theta) = \sin 2\varphi \sin d, n_z(\theta) = \cos 2\varphi \quad (8)$$

где  $2\varphi$  — угол поворота спина на вставке с соленоидами,  $d$  определяется следующим образом

$$d(\theta) = \nu \int_{\theta_1}^{\theta} K(\theta') d\theta'$$

( $\theta_1$  — азимут границы детектора,  $K$  — безразмерная кривизна траектории частицы,  $\nu = E (\text{МэВ})/440.64$ ). Из (8) видно, что изменением знака поля в соленоидах (знак  $2\varphi$ ) можно менять знак спиральности встречных пучков.

Если угол поворота спина в МД не равен  $\pi$ , то в полукольцах  $\vec{n}$  может отклоняться от вертикали на угол порядка единицы. В этом случае основной вклад в величину  $r \frac{d\vec{n}}{dr}$  дает хроматичность поворота спина в соленоидах и в ведущем поле. Этот вклад вычисляется дифференцированием полного выражения для  $\vec{n}(\theta)$  по энергии (см. приложение I).

\*) Строго говоря, выражение для  $\delta S_L^k$  представляет собой сумму слагаемых с разными декрементами затухания (бетатронными  $\lambda_x, \lambda_z$  и синхротронным  $\lambda$ ). Однако, очевидно, результат (7) от этого не изменится. В приведенных выше рассуждениях не учитывались также синхротронные колебания, что справедливо, если отстройка от спиновых резонансов много больше синхротронной частоты  $\nu_f$  (для ВЭШ-4  $\nu_f \approx 0.01$ ).

\*\*) На возможность реализации для накопителя ВЭШ-4 такой кинематической схемы получения продольной поляризации в области энергий  $E \approx 5 \text{ ГэВ}$  первым обратил внимание Ю.М.Шатунов.

Из формул (П-4) следует, что при этом  $r \frac{d\vec{n}}{dr} \sim \nu$ . Последнее является неприемлемым, если поляризация происходит за счет ведущего поля. Таким образом, восстановление вертикального направления спина в полукольцах является в рассматриваемой схеме обязательным условием. В оптимальном случае вклад хроматичности поворотов в  $r \frac{d\vec{n}}{dr}$  порядка  $\pi \sin 2\varphi \sim 1$ . Вклад бетатронных колебаний [7] составляет по порядку величины  $\nu/\nu_x$  (частота бетатронных колебаний  $\nu_x \approx 9, \nu = 11,3$ ), что сравнимо с вкладом от хроматичности. В области спиновых резонансов  $\nu_x \pm \nu_o = K$  ( $\nu_o$  — частота прецессии спина, равная в выбранной схеме параметру  $\nu$ ,  $K = 0 \pm 1, \dots$ ) вклад бетатронного движения в спин-орбитальную связь становится доминирующим. Важно отметить, что при фиксированной кинематике спина бетатронной частью параметра  $r \frac{d\vec{n}}{dr}$  можно управлять с помощью настройки фокусировки вставок и промежутка, а также выбором частоты  $\nu_x$  (в отличии от вклада хроматичности). Это дает возможность за счет оптимизации величины  $r \frac{d\vec{n}}{dr}$  получить достаточно высокую степень продольной поляризации в центре МД (см. формулу (I)).

В приложении II приведен метод вычисления параметра  $r \frac{d\vec{n}}{dr}$  для любых схем, в которых возбуждение бетатронных колебаний квантовыми флюктуациями в магнитах происходит только по радиусу, а вертикальное движение учитывается внутри вставок с локализованной в них связью поперечных степеней свободы. Величина  $r \frac{d\vec{n}}{dr}$  рассчитывается в этом приближении последующим формулам:

$$\begin{aligned} r \frac{d\vec{n}}{dr} &= -[\vec{P} + \vec{n} \times \vec{Q}] \\ P_j &= -\sqrt{\frac{H}{\beta_1}} \frac{1}{4 \sin \pi (\nu_x + \nu_o) \sin \pi (\nu_x - \nu_o)} \left\{ (A_j \beta_1 - B_j \alpha_1) [\cos \Phi \cos 2\pi \nu_o - \right. \\ &\quad \left. - \cos(2\pi \nu_x + \Phi)] + B_j [\sin(2\pi \nu_x + \Phi) - \sin \Phi \cos 2\pi \nu_o] \right\} - \frac{1}{2} D_j \\ Q_j &= -\sqrt{\frac{H}{\beta_1}} \frac{\sin 2\pi \nu_o}{4 \sin \pi (\nu_x + \nu_o) \sin \pi (\nu_x - \nu_o)} \left\{ -(A_j \beta_1 - B_j \alpha_1) \cos \Phi + B_j \sin \Phi \right\} - \frac{1}{2} d \nu D_j \end{aligned} \quad (9)$$

$j = x, y, z$

где  $\Psi(\theta) = [\Psi_x^2 + (\alpha_x \Psi_x + \beta_x \Psi_x')^2]/\beta_x$ ;  $\beta_x, \Psi_x, \alpha_x = -\beta_x/2, \Psi_x'$  - амплитудная, дисперсионная функции и их производные на азимуте  $\theta$ ;  $\phi_0 = \arg \cos(-\Psi_x/\sqrt{\beta_x}) - \int \frac{e^{\phi}}{\beta_x} d\theta$  ( $R$  - средний радиус машины);  $\beta_x = \beta_x(0)$ ,  $\alpha_x = \alpha_x(0)$ ; коэффициенты  $A_j$ ,  $B_j$ ,  $D_j$  рассчитываются при интегрировании изменений спина  $\Delta S_z$  неравновесной частицы в пределах от  $\theta$  до  $\theta + 2\pi$  так, как показано в приложении П.

Выбор схемы экспериментального промежутка и структуры внутри вставок проводился с учетом оптимизации величин  $A_j$ ,  $B_j$ ,  $D_j$ . Для полученного оптимального варианта на рис.6 приведена рассчитанная по формулам (9) зависимость степени продольной поляризации

$\zeta \cdot n_{ll}$  (в схеме  $2\varphi = 45^\circ$ , поэтому из (8) имеем в центре МД  $n_{ll} = \sqrt{2}/2$ ) от радиальной бетатронной частоты  $V_x$ . Около точки  $V_x = 0.76$  величина  $\zeta \cdot n_{ll}$  близка к 50%, а в узкой области резонансов  $V_x \pm V_0$  она падает до нуля. Соответствующее время поляризации  $\tau_p$  вычислялось по формуле [6]:

$$\tau_p = \tau_p^0 \langle |\mathcal{K}|^3 \rangle \left[ \left( 1 - \frac{2}{9} (\vec{n} \cdot \vec{v})^2 + \frac{11}{18} \left( \frac{\partial \vec{n}}{\partial r} \right)^2 \right) \langle |\mathcal{K}|^3 \rangle \right]^{-1}$$

где  $\tau_p^0$  - время поляризации в накопителе без соленоидов, равное

$$\tau_p^0 = \left[ \frac{5\sqrt{3}}{8} \zeta_e \lambda_e \delta^5 \langle |\mathcal{K}|^3 \rangle \right]^{-1}$$

$$(\lambda_e = \frac{\hbar}{m}, \zeta_e = e^2/m)$$

Для ВЭП-4

$$\tau_p^0 = \frac{2000}{E^5} \text{ (час)}$$

Как видно из рис.7, на котором изображена зависимость  $\tau_p$  от частоты  $V_x$ , время поляризации на энергии 5 ГэВ является вполне приемлемым для проведения экспериментов с продольно поляризованными пучками при условии, что их время жизни составляет порядка нескольких часов.

Кроме расчетной величины  $\tau_p$  в общем случае следует ожидать появления в накопителе паразитной спин-орбитальной связи вслед-

ствие погрешностей в магнитной структуре. Так как в рассматриваемой схеме  $\vec{n}$  на большей части кольца совпадает с вертикалью, то представляется возможным для оценки паразитной  $\gamma^*\gamma$  использовать приближение обычного накопителя с вертикальной поляризацией. В обычном накопителе без соленоидов основное деполярирующее действие на спин оказывает радиальное поле  $H_x$  и его радиальный градиент  $\partial H_x / \partial x$ , причем, это действие усиливается вблизи резонансов  $V = K$  и  $V_{x,z} \pm V = K$  [7,8]. Причиной появления радиального поля в основном служат вертикальные смещения линз, приводящие к вертикальным искажениям замкнутой орбиты. Градиент  $\partial H_x / \partial x$  возникает из-за поворотов линз вокруг своих осей и обуславливает связь бетатронных колебаний по  $X, Z$ -направлениям. В приложении Ш приведена схема расчета спин-орбитальной связи в обычном накопителе при наличии перечисленных возмущений. На рис. (9,10) приведена рассчитанная для ВЭП-4 степень равновесной поляризации  $\zeta$  в неидеальном накопителе, нормированная на степень поляризации в идеальном накопителе ( $\zeta^0 = 0,92$ ), как функция энергии ( $V$ ). Рис.9(а) показывает эффект некоррелированного действия поворотов всех линз накопителя с разбросом углов поворота  $10^{-3}$  (в соответствии с данными измерения величины коэффициента связи бетатронных колебаний на ВЭП-4). Для сравнения на рис.9(б) приведен результат поворота одной из сильных линз ( $L_7$ ) экспериментального промежутка на угол  $5 \cdot 10^{-4}$ . Деполяризующее влияние вертикальных смещений линз иллюстрирует рис.10. Рис.10(а) соответствует среднеквадратичному разбросу смещений  $2 \cdot 10^{-2}$  см. Рис.10(б) соответствует смещению линзы  $L_7$  на 0.05 см. Используемые величины смещений согласуются с реально имеющимися вертикальными искажениями орбиты (порядка 1 мм). Приведенные оценки показывают, что в выбранной кинематической схеме паразитная связь, вносимая вертикальными искажениями замкнутой орбиты, сильно подавлена из-за большой отстройки частоты прецессии спина  $V_0$  от целого резонанса ( $V_0 = V = 11,36$  при энергии  $\gamma^*$ -мезона). Из расчета степени продольной поляризации (рис.6) следует, что оптимальная рабочая точка по  $V_x$  должна отстоять от резонанса  $V_x + V_0 = 20$  на величину порядка 0,1. Оценки деполяризующего влияния погрешностей магнитной системы показывают, что при таких отстройках приближение идеального накопителя можно считать правомерным.

В заключении мы хотим выразить глубокую благодарность Я.С.Дербеневу и А.М.Кондратенко за неизменную поддержку в течение всего времени выполнения этой работы.

#### Л и т е р а т у р а

1. С.А.Никитин, Е.Л.Салдин. Препринт ИЯФ 81-19 (1981).
2. Ю.И.Сковородин, И.Б.Хрипкович, ЯФ, 30, 589 (1979).
3. R. Larsen, SPEAR 107 (1971)
4. А.А.Жоленц, И.Я.Протопопов, А.Н.Скринский. Препринт ИЯФ 76-IIО (1976).
5. Я.С.Дербенев, А.М.Кондратенко, А.Н.Скринский. ЖЭТФ, 60, 1216 (1971), ДАН СССР, 192, 1255 (1970).
6. Я.С.Дербенев, А.М.Кондратенко. Препринт ИЯФ 72-68 (1972), ЖЭТФ, 64, 1918 (1973).
7. Я.С.Дербенев, А.М.Кондратенко, ЖЭТФ, 62, 430 (1972).
8. Я.С.Дербенев, А.М.Кондратенко, А.Н.Скринский. Препринт ИЯФ 77-60 (1977), Part. Acc. 9 (1979).

Приложение I

Вычислим равновесное направление спина  $\vec{n}(\theta) = \vec{n}/(\theta + 2\pi)$  для схемы (Рис. 1). Пусть угол поворота спина в МД произвольный -  $\varphi$ . Каждая вставка вращает спин вокруг скорости на угол  $2\varphi$ . Используем для наших целей формализм спинорных матриц [5]. Спинорная матрица произвольного вращения имеет вид

$$M = I \cos \frac{\Phi}{2} - i \sin \frac{\Phi}{2} (\bar{\sigma}_x \cos d_x + \bar{\sigma}_y \cos d_y + \bar{\sigma}_z \cos d_z) \quad (1)$$

$$I = \begin{pmatrix} 1 & 0 \\ 0 & 1 \end{pmatrix}, \bar{\sigma}_x = \begin{pmatrix} 0 & 1 \\ 1 & 0 \end{pmatrix}, \bar{\sigma}_y = \begin{pmatrix} 0 & -i \\ i & 0 \end{pmatrix}, \bar{\sigma}_z = \begin{pmatrix} 1 & 0 \\ 0 & -1 \end{pmatrix}$$

где  $\Phi$  - угол поворота спина вокруг вектора, задаваемого направляющими косинусами  $\cos d_j$ ,  $j = x, y, z$ . Для вычисления  $\vec{n}(\theta)$  необходимо для данного азимута  $\theta_0$  перемножением матриц поворота на отдельных участках накопителем получить оборотную матрицу

$$M(\theta_0) = I C_0 - i (\bar{\sigma}_x C_x + \bar{\sigma}_y C_y + \bar{\sigma}_z C_z)$$

где  $C_{0,x,y,z}$  - действительные коэффициенты.

Из определения  $M$  через  $\Phi$  и  $\cos d_j$  следует

$$n_j(\theta_0) = \pm \frac{C_j}{\sqrt{1 - C_0^2}}, \quad j = x, y, z \quad (2)$$

частота прецессии спина  $\nu_0$  определяется из соотношения  
 $=$   
 $C_0 = \cos \pi \nu_0$

Если  $\theta_0$  находится в одном из полуколец (см. рис. I.1), то полная матрица  $M(\theta_0)$  на обороте равна

$$M(\theta_0) = M_z(\varphi_3) M_y(2\varphi) M_z(\varphi_1) M_y(2\varphi) M_z(\varphi_2)$$

где

$$\varphi_2 = \gamma \int_0^{2\pi} K d\theta, \quad \varphi_3 = 2\pi V - \varphi_1 - \varphi_2$$

$K$  - безразмерная кривизна орбиты,  $M_z(x)$  - матрица поворота спина вокруг оси  $Z$  на угол  $x$

$$M_z(x) = I \cos \frac{x}{2} - i \bar{\sigma}_z \sin \frac{x}{2}$$

и  $M_y(2\varphi)$  - матрица поворота спина на вставке  $M_y(2\varphi) = I \cos \varphi - i \bar{\sigma}_y \sin \varphi$

Из (2) получим, что в кольце

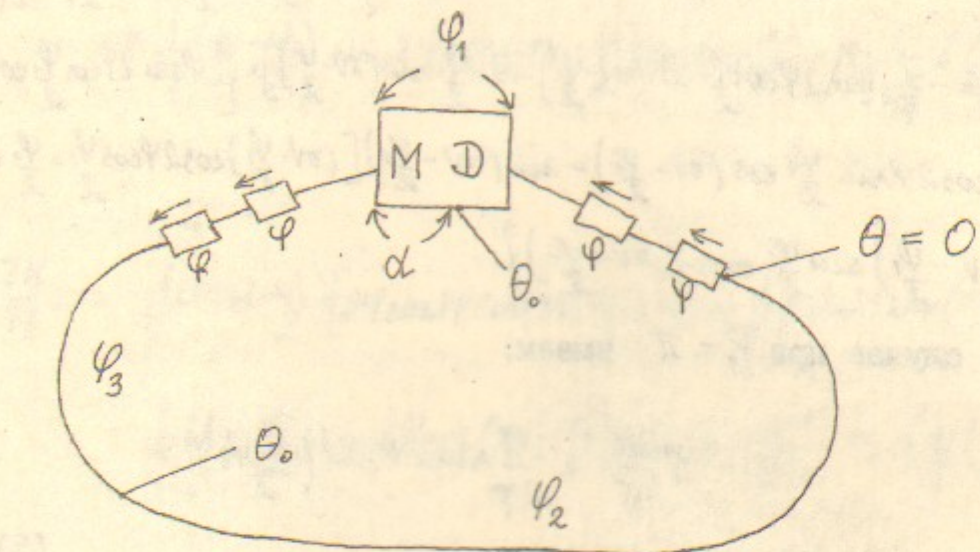


Рис I.1

$$n_x = \sin 2\varphi \cos \frac{\varphi_1}{2} \sin \left( \frac{\varphi_2 - \varphi_3}{2} \right) / \xi$$

$$n_y = \sin 2\varphi \cos \frac{\varphi_1}{2} \cos \left( \frac{\varphi_2 - \varphi_3}{2} \right) / \xi$$

$$n_z = [\cos 2\varphi \cos \frac{\varphi_1}{2} \sin(\pi\nu - \frac{\varphi_1}{2}) + \sin \frac{\varphi_1}{2} \cos(\pi\nu - \frac{\varphi_1}{2})] / \xi \quad (3)$$

$$\xi = \pm \left\{ 1 - [\cos 2\varphi \cos \frac{\varphi_1}{2} \cos(\pi\nu - \frac{\varphi_1}{2}) - \sin \frac{\varphi_1}{2} \sin(\pi\nu - \frac{\varphi_1}{2})] \right\}^{1/2}$$

Дифференцируя (3) по энергии, найдем величину  $\gamma \frac{\partial \vec{n}}{\partial \gamma}(\theta)$  без учета бетатронного движения:

$$\begin{aligned} \gamma \frac{\partial n_x}{\partial \gamma} = & -\frac{1}{\xi} \sin \left( \frac{\varphi_2 - \varphi_3}{2} \right) \left[ 2\varphi \cos 2\varphi \cos \frac{\varphi_1}{2} + \frac{\varphi_1}{2} \sin 2\varphi \sin \frac{\varphi_1}{2} \right] + \\ & + \frac{1}{2\xi} (\varphi_2 - \varphi_3) \sin 2\varphi \cos \frac{\varphi_1}{2} \cos \left( \frac{\varphi_2 - \varphi_3}{2} \right) - n_x \left( \frac{1}{\xi} \gamma \frac{\partial \xi}{\partial \gamma} \right) \end{aligned} \quad (4)$$

$$\begin{aligned} \gamma \frac{\partial n_y}{\partial \gamma} = & -\frac{1}{\xi} \cos \left( \frac{\varphi_2 - \varphi_3}{2} \right) \left[ 2\varphi \cos 2\varphi \cos \frac{\varphi_1}{2} + \frac{\varphi_1}{2} \sin 2\varphi \sin \frac{\varphi_1}{2} \right] - \\ & - \frac{1}{2\xi} (\varphi_2 - \varphi_3) \sin 2\varphi \cos \frac{\varphi_1}{2} \sin \left( \frac{\varphi_2 - \varphi_3}{2} \right) - n_y \left( \frac{1}{\xi} \gamma \frac{\partial \xi}{\partial \gamma} \right) \end{aligned}$$

$$\begin{aligned} \frac{\partial n}{\partial \gamma} &= \frac{1}{\xi} \sin(\pi V - \varphi_1) \left[ 2\varphi \sin 2\varphi \cos \frac{\varphi_1}{2} - \frac{\varphi_1}{2} \cos 2\varphi \sin \frac{\varphi_1}{2} \right] + \\ &+ \frac{1}{\xi} \cos(\pi V - \varphi_1) \cos \frac{\varphi_1}{2} \left[ (\pi V - \varphi_1) \cos 2\varphi + \frac{\varphi_1}{2} \right] - \frac{1}{\xi} (\pi V - \varphi_1) \sin \frac{\varphi_1}{2} \sin(\pi V - \varphi_1) - n_x \left( \frac{1}{\xi} \frac{\partial \xi}{\partial \gamma} \right) \\ \left( \frac{1}{\xi} \frac{\partial \xi}{\partial \gamma} \right) &= -\frac{1}{\xi^2} \left[ \cos 2\varphi \cos \frac{\varphi_1}{2} \cos(\pi V - \varphi_1) - \sin \frac{\varphi_1}{2} \sin(\pi V - \varphi_1) \right] \times \left[ 2\varphi \sin 2\varphi \cos \frac{\varphi_1}{2} \cos(\pi V - \varphi_1) - \right. \\ &- \frac{\varphi_1}{2} \cos 2\varphi \sin \frac{\varphi_1}{2} \cos(\pi V - \varphi_1) - \sin(\pi V - \varphi_1) \left[ (\pi V - \varphi_1) \cos 2\varphi \cos \frac{\varphi_1}{2} + \frac{\varphi_1}{2} \cos \frac{\varphi_1}{2} \right] - \\ &\left. - (\pi V - \varphi_1) \sin \frac{\varphi_1}{2} \cos(\pi V - \varphi_1) \right] \end{aligned}$$

В частном случае при  $\varphi_1 = \pi$  имеем:

$$\begin{aligned} n_x &= 0 & \frac{\partial n_x}{\partial \gamma} &= -\frac{\pi}{2\xi} \sin 2\varphi \sin \left( \frac{\varphi_1 - \varphi_3}{2} \right) \\ n_y &= 0 & \frac{\partial n_y}{\partial \gamma} &= -\frac{\pi}{2\xi} \sin 2\varphi \cos \left( \frac{\varphi_1 - \varphi_3}{2} \right) \end{aligned} \tag{5}$$

$$\begin{aligned} n_z &= \pm 1 & \frac{\partial n_z}{\partial \gamma} &= 0 \\ \xi &= \pm \sin \pi V \end{aligned}$$

$$(\frac{\partial \vec{n}}{\partial \gamma})^2 = \left( \frac{\pi}{2} \frac{\sin 2\varphi}{\sin \pi V} \right)^2$$

Частота прецессии спина  $V_0$  равна при этом параметру  $V$

$$V_0 = V = \frac{E \text{ (MeV)}}{440.64}$$

Если  $\theta_0$  находится в магните МД, то аналогичным образом получим

$$\begin{aligned} n_x &= \sin 2\varphi \cos(\pi V - \varphi_1) \sin(d - \frac{\varphi_1}{2}) / \xi \\ (6) \quad n_y &= \sin 2\varphi \cos(\pi V - \varphi_1) \cos(d - \frac{\varphi_1}{2}) / \xi \end{aligned}$$

$$n_z = \left[ \cos 2\varphi \sin \frac{\varphi_1}{2} \cos(\pi V - \varphi_1) + \cos \frac{\varphi_1}{2} \sin(\pi V - \varphi_1) \right] / \xi$$

$$\begin{aligned} \frac{\partial n_x}{\partial \gamma} &= -\frac{1}{\xi} \sin(d - \frac{\varphi_1}{2}) \left[ 2\varphi \cos 2\varphi \cos(\pi V - \varphi_1) + (\pi V - \varphi_1) \sin 2\varphi \sin(\pi V - \varphi_1) \right] + \\ &+ \frac{1}{\xi} (d - \frac{\varphi_1}{2}) \sin 2\varphi \cos(\pi V - \varphi_1) \cos(d - \frac{\varphi_1}{2}) - n_x \left( \frac{1}{\xi} \frac{\partial \xi}{\partial \gamma} \right) \end{aligned}$$

$$\begin{aligned} \frac{\partial n_y}{\partial \gamma} &= -\frac{1}{\xi} \cos(d - \frac{\varphi_1}{2}) \left[ 2\varphi \cos 2\varphi \cos(\pi V - \varphi_1) + (\pi V - \varphi_1) \sin 2\varphi \sin(\pi V - \varphi_1) \right] - \\ &- \frac{1}{\xi} (d - \frac{\varphi_1}{2}) \sin 2\varphi \cos(\pi V - \varphi_1) \sin(d - \frac{\varphi_1}{2}) - n_y \left( \frac{1}{\xi} \frac{\partial \xi}{\partial \gamma} \right) \end{aligned}$$

$$\begin{aligned} \frac{\partial n_z}{\partial \gamma} &= \frac{2\varphi}{\xi} \sin 2\varphi \sin \frac{\varphi_1}{2} \cos(\pi V - \varphi_1) + \frac{1}{\xi} \cos \frac{\varphi_1}{2} \cos(\pi V - \varphi_1) \left[ \frac{\varphi_1}{2} \cos 2\varphi + \pi V - \frac{\varphi_1}{2} \right] - \\ &- \frac{1}{\xi} \sin \frac{\varphi_1}{2} \sin(\pi V - \varphi_1) \left[ \frac{\varphi_1}{2} + (\pi V - \varphi_1) \cos 2\varphi \right] - \\ &- n_z \left( \frac{1}{\xi} \frac{\partial \xi}{\partial \gamma} \right) \end{aligned}$$

величины  $\xi$  и  $(\frac{1}{\xi} \frac{\partial \xi}{\partial \gamma})$  определены выше. При  $\varphi_1 = \pi$  имеем

$$\begin{aligned} n_x &= -\sin 2\varphi \sin \pi V \cos d / \xi \\ n_y &= \sin 2\varphi \sin \pi V \sin d / \xi \\ n_z &= \cos 2\varphi \sin \pi V / \xi \end{aligned} \tag{7}$$

## Приложение II

Метод вычисления параметра спин-орбитальной связи  $\gamma \frac{\partial \vec{n}}{\partial r}$  в накопителях в общем случае содержится в работе [7]. В данной работе для нахождения величины  $\gamma \frac{\partial \vec{n}}{\partial r}$  применим менее компактный, но более наглядный способ, заключающийся в суммировании изменений спина по оборотам [1].

Пусть на азимуте  $\theta_0$  частица со спином  $\vec{S}_0$ , направленным по  $\vec{n}$ , получает приращение энергии  $\delta\epsilon$ . При движении по неравновесной траектории на спин действуют дополнительные поля, которые отклоняют его от равновесного направления  $\vec{n}$ . За время радиационного затухания  $\propto^{-1}$  орбитальное движение релаксирует к равновесному, однако направление спина при этом не восстанавливается. Набранное за это время изменение спина  $\Delta \vec{S} = \vec{S} - \vec{S}_0$  лежит в плоскости, перпендикулярной к  $\vec{n}$ , и вращается с частотой прецессии  $\nu_0$ . Для случая  $2\pi\lambda N \gg 1$  ( $N$  - число оборотов частицы в накопителе после скачка энергии) определим вектор  $\vec{b}(\theta)$  такой, что полное изменение спина за  $N$  оборотов можно записать в виде:

$$\Delta \vec{S}_N = \vec{b} \cos 2\pi\nu_0 N + \vec{n} \times \vec{b} \sin 2\pi\nu_0 N \quad (1)$$

Знак поворота спина в (1) выбран в соответствии с определением  $\vec{n}$  (см. приложение I).

Очевидно, что  $\vec{b}$  пропорционален скачку энергии  $\frac{\delta\epsilon}{r}$ , при этом коэффициент пропорциональности с обратным знаком носит название параметра спин-орбитальной связи

$$\vec{b}(\theta) = - \left[ \gamma \frac{\partial \vec{n}}{\partial r}(\theta) \right] \frac{\delta\epsilon}{r} \quad (2)$$

Обозначим через  $\delta S_K$  изменение спина на K-обороте. Суммарное изменение спина за  $N$  оборотов составит

$$\Delta \vec{S}_N = \operatorname{Re} \left[ \sum_{K=1}^N \delta \vec{S}_K e^{i 2\pi \nu_0 (N-K)} \right] + \vec{n} \times \operatorname{Im} \left[ \sum_{K=1}^N \delta \vec{S}_K e^{i 2\pi \nu_0 (N-K)} \right] \quad (3)$$

Введем обозначения:

$$\frac{\delta \vec{S}}{\vec{r}} \vec{P} = \operatorname{Re} \left[ \sum_{K=1}^N \delta \vec{S}_K e^{-i 2\pi \nu_0 K} \right] \quad (4)$$

$$\frac{\delta \vec{P}}{\vec{r}} \vec{Q} = \operatorname{Im} \left[ \sum_{K=1}^N \delta \vec{S}_K e^{-i 2\pi \nu_0 K} \right]$$

Тогда из сравнения (1), (2) и (3) получим:

$$\frac{\delta \vec{n}}{\vec{r}} = - (\vec{P} + \vec{n} \times \vec{Q}) \quad (5)$$

Суммирование в (4) предполагает, конечно, наличие множителя  $e^{-2\pi\lambda K}$ , учитывающего затухание. В дальнейшем мы этот множитель явно выписывать не будем, производя суммирование по тем же правилам, что и в работе [1].

Таким образом, для определения  $\gamma \frac{\partial \vec{n}}{\partial r}(\theta)$  необходимо найти выражение для  $\delta \vec{S}_K$  и вычислить сумму (4).

Величина  $\delta \vec{S}_K$  дается интегрированием уравнения для спина неравновесной частицы [8]

$$\frac{d \vec{S}}{d \theta} = \vec{W} \times \vec{S} \quad (6)$$

В обычном ускорительном базисе  $\vec{e}_{x,y,z} \leftarrow \vec{e}_y$  (направлен по равновесной скорости) частота прецессии  $\vec{W}$  для накопителя с плоской орбитой и продольным полем  $H_z$  согласно [8] имеет вид:

$$W_x = (\nu + 1) Z'' - \omega_0 X' \quad (7)$$

$$W_y = -\omega_0 (1 - \frac{\delta\epsilon}{r})$$

$$W_z = \nu K (1 + \frac{\delta\epsilon}{r}) - (\nu + 1) X'' - \omega_0 Z'$$

где  $K$  - безразмерная кривизна орбиты, отклонения  $X$  и  $Z$  нормированы на средний радиус  $R$  накопителя,  $\nu = p q / q_0$  ( $p$  - релятивистский фактор,  $q_0 = e/mc$  - магнитный момент,  $q'$  - его аномальная часть),  $\omega_0 = q_0 H_z / p w_0$ ,  $w_0$  - равновесная частота обращения. Для наших целей мы будем использовать другой базис, связанный со скоростью неравновесной час-

типы  $\vec{v}$  [8]:

$$\vec{e}_1 = \frac{\vec{v} \times \vec{e}_z}{|\vec{v} \times \vec{e}_z|}; \quad \vec{e}_2 = \frac{\vec{v}}{|\vec{v}|}, \quad \vec{e}_3 = \vec{e}_1 \times \vec{e}_2$$

$$\vec{v} = \frac{c}{(1+Kx)} [\vec{e}_x x' + (1+Kx)\vec{e}_y + \vec{e}_z z']$$

Переходя к этому базису с учетом того, что он вращается относительно ускорительного базиса с угловой скоростью  $w_0 = -z''\vec{e}_x - x''\vec{e}_z$  получим:

$$w_1 = \sqrt{z''}, \quad (8)$$

$$w_2 = -w_0(1 - \frac{z'}{r})$$

$$w_3 = \sqrt{K}(1 + \frac{z'}{r}) - \sqrt{x''}$$

Интересно отметить, что в соленоиде ( $w_0 \neq 0$ ) частота прецессии  $\bar{w}$  в обоих базисах одинакова (ср. (7) и (8)). Вопрос выбора системы ортов для вычисления суммы (4) не является принципиальным. Это связано с тем, что до скачка энергии и после релаксации к равновесному состоянию базисы  $\vec{e}_{x,y,z}$  и  $\vec{e}_{1,2,3}$  совпадают. Поэтому интегральные изменения спина  $\Delta \vec{S}_N$  в обоих базисах равны.

Учитывая это, а также то, что  $S_{1,2,3} = S_{x,y,z} + O(x', z')$ , получим уравнение для отклонений спина от равновесного направления в базисе, связанном со скоростью частицы:

$$(\delta \vec{S})_1' = S_z w_0 \frac{\delta \varphi}{r} - \sqrt{S_y} (K \frac{\delta \varphi}{r} - x'') - w_0 \delta S_3 - V K S_2$$

$$(\delta \vec{S})_2' = \sqrt{S_x} (K \frac{\delta \varphi}{r} - x'') - \sqrt{S_z} z'' + V K S_1$$

$$(\delta \vec{S})_3' = -S_x w_0 \frac{\delta \varphi}{r} + \sqrt{S_y} z'' + w_0 \delta S_1$$

где  $\vec{\delta S} = \vec{S} - \vec{S}_0$ .

Прежде всего необходимо найти выражение для  $\vec{\delta S}$ , выбираемых при прохождении характерных элементов накопителя в данной схеме.

а) Соленоид ( $K = 0, w_0 \neq 0$ ) осуществляет поворот спина вокруг оси  $y$  на угол  $\varphi = w_0 \Delta \theta_s$  ( $\Delta \theta_s$  – протяженность соленоида по азимуту)

$$\vec{S}(4) = R_y(\varphi) \vec{S}(1)$$

$$R_y(\varphi) = \begin{pmatrix} \cos \varphi & 0 & \sin \varphi \\ 0 & 1 & 0 \\ -\sin \varphi & 0 & \cos \varphi \end{pmatrix}$$

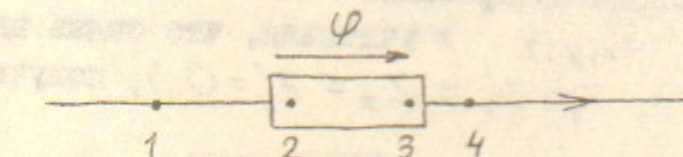


Рис. II.1

где  $\vec{S}(1)$  и  $\vec{S}(4)$  вектор  $\vec{S} = (S_x, S_y, S_z)$  в точках, указанных на рис. II.1. Следуя работе [1], из уравнений (9) получим:

$$\delta S_1 = S_x \Psi \sin \varphi \frac{\delta \varphi}{r} + \sqrt{S_y} [x'_4 - (x'_1 - \Psi z'_2) \cos \varphi - (z'_1 + \Psi x'_2) \sin \varphi] - S_z \Psi \cos \varphi \frac{\delta \varphi}{r}$$

$$\delta S_2 = \sqrt{S_x} [x'_1 - x'_4 \cos \varphi + z'_4 \sin \varphi - \Psi z'_2] + \sqrt{S_z} [z'_1 - x'_4 \sin \varphi - z'_4 \cos \varphi + \Psi x'_2]$$

$$\delta S_3 = S_x \Psi \cos \varphi \frac{\delta \varphi}{r} + \sqrt{S_y} [z'_4 + (x'_1 - \Psi z'_2) \sin \varphi - (z'_1 + \Psi x'_2) \cos \varphi] + S_z \Psi \sin \varphi \frac{\delta \varphi}{r}$$

точка 2 соответствует началу области в соленоиде с однородным полем,  $S_{x,y,z}$  проекции в точке 1.

б) Для вставки (рис. II.2) с двумя одинаковыми соленоидами и линзами между ними, компенсирующими связь, имеем

$$\vec{\delta S} = R_y(\varphi) \vec{\delta S}_I + \vec{\delta S}_{II}$$

где  $\vec{\delta S}_I$  и  $\vec{\delta S}_{II}$  изменения на I и II соленоидах (см. пункт а)

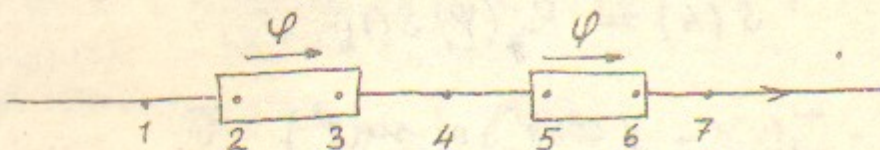


Рис. II.2

Выражая все необходимые проекции спина через его входные в точке I значения  $S_{x,y,z}$  и учитывая, что связь вне вставки скомпенсирована ( $Z_1 = Z'_1 = Z_2 = Z'_2 = 0$ ), получим

$$\delta S_1 = 2S_x \varphi \sin 2\varphi \frac{\delta\gamma}{r} + \sqrt{S_y} [x'_2 - x'_1 \cos 2\varphi + \varphi (z'_2 \cos 2\varphi - x'_2 \sin 2\varphi + z'_5 \cos \varphi - x'_5 \sin \varphi)] - 2S_z \varphi \cos 2\varphi \frac{\delta\gamma}{r}$$

$$\delta S_2 = \sqrt{S_x} [x'_1 - x'_2 \cos 2\varphi - \varphi (z'_2 + z'_5 \cos \varphi + x'_5 \sin \varphi)] + \sqrt{S_z} [-x'_2 \sin 2\varphi + \varphi (x'_2 - z'_5 \sin \varphi + x'_5 \cos \varphi)]$$

$$\delta S_3 = 2S_x \varphi \cos 2\varphi \frac{\delta\gamma}{r} + \sqrt{S_y} [x'_1 \sin 2\varphi - \varphi (z'_2 \sin 2\varphi + x'_2 \cos 2\varphi + z'_5 \sin \varphi + x'_5 \cos \varphi)] + 2S_z \varphi \sin 2\varphi \frac{\delta\gamma}{r}$$

в) На участке с обнчной фокусировкой и ведущим полем, поворачивающим спин вокруг оси  $Z$  на угол  $\alpha = \sqrt{\kappa} d\theta$ , имеем

$$R_z(\alpha) = \begin{pmatrix} \cos \alpha & -\sin \alpha & 0 \\ \sin \alpha & \cos \alpha & 0 \\ 0 & 0 & 1 \end{pmatrix}$$

и изменения проекций из (9) в приближении, когда отсутствуют колебания по  $Z$  ( $Z'' = 0$ ):

$$\delta S_3 = 0, \quad \delta(S_x + iS_y) = i(S_x + iS_y)|_2 [\alpha \frac{\delta\gamma}{r} - v(x'_2 - x'_1)]$$

- 26 -

где  $(S_x + iS_y)|_2$  — комбинация из проекций спина на выходе участка в точке 2. То же самое можно записать в виде:

$$\vec{\delta S} = R_z(\frac{\pi}{2}) Y \vec{S}(2) = R_z(\alpha + \frac{\pi}{2}) Y \vec{S}(1)$$

$$Y = [\alpha \frac{\delta\gamma}{r} - v(x'_2 - x'_1)] \begin{pmatrix} 1 & 0 & 0 \\ 0 & 1 & 0 \\ 0 & 0 & 0 \end{pmatrix}$$

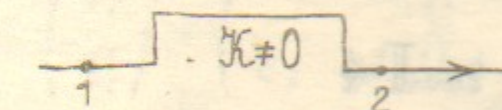


Рис. II.3

Используя результаты пунктов а, б, в легко просуммировать изменения спина в пределах от  $\Theta_0 + 2\pi(k-1)$  до  $\Theta_0 + 2\pi k$  и тем самым найти вектор  $\vec{\delta S}_K$ . С точки зрения кинетики спина необходимо посчитать величину  $\vec{\delta S}_K$  в точках накопителя, где есть поперечное к скорости магнитное поле, — в полукольцах с ведущим и в магните MD (см. рис. II.4), вклад которого в диффузию довольно велик (интеграл куба поля в нем составляет  $\sim 30\%$  от интеграла по всему кольцу).

Ограничимся рассмотрением простой кинематической схемы (см. § I), в которой MD вращает спин на  $\pi$ , а угол поворота на вставках с соленоидами I и II равны:  $2\varphi_I = 2\varphi_{II} = 2\varphi$ . После скачка энергии на азимуте  $\Theta_0$  частица движется с отклонением от равновесной траектории

$$x = x_b + \psi \frac{\delta\gamma}{r} \quad (10)$$

где бетаэронную часть  $x_b$  удобно представить в виде, аналогичном формуле Флока:  $x_b = \frac{\delta\gamma}{r} C f e^{iv_x \theta} + \text{к.с.}$

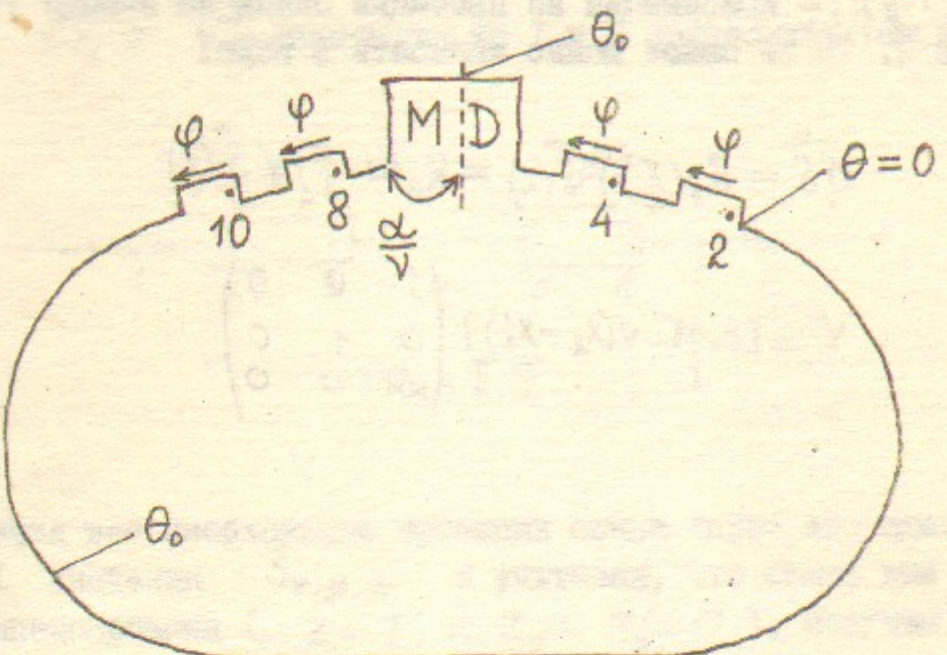


Рис. II.4

Константу  $C = |C| e^{i\phi_0}$  нетрудно найти из начальных условий в момент скачка  $x_0 = x'_0 = 0$  [1]

$$|C| = \frac{1}{2} \sqrt{\mathcal{H}_0} \quad (11)$$

$$\phi_0 = \arccos(-\psi_0 / \sqrt{\mathcal{H}_0 \beta_0}) - \int_0^{\theta_0} \frac{R d\theta}{\rho} \quad (12)$$

где  $\mathcal{H}_0 = \frac{\psi_0^2 + (\alpha_0 \psi_0 + \beta_0 \psi'_0)^2}{\beta_0}$ ,  $\alpha_0, \beta_0, \psi_0, \psi'_0$  —

амплитудные и дисперсионная функции накопителя в точке  $\theta_0$ . Вертикальные колебания отсутствуют всюду кроме участков внутри вставок с соленоидами. В этом приближении вследствие вертикальной направленности спина в полукольцах ( $S_x = S_y = 0$ ) вклад этой части накопителя в  $\delta S_K$  равен нулю (см. пункт в).

Если  $\theta_0$  находится где-то в полукольце, то  $\delta S_K$  равен изменению спина на экспериментальном промежутке  $\delta S^{np}$ , повернутому на угол  $\chi_0 = \int_0^{\theta_0} d\theta$  вокруг оси  $\vec{z}$  (см. рис. II.4)

$$\delta S_K = R_z(\chi_0) \delta S^{np} \quad (12)$$

В данной кинематической схеме

$$\delta S_1^{np} = \delta S_3^{np} = 0$$

$$\begin{aligned} \delta S_2^{np} = & \sqrt{\varphi} [-x'_2 + z'_4 \sin \varphi - x'_4 \cos \varphi + z'_8 \sin 2\varphi + x'_8 \cos 2\varphi + \\ & + z'_{10} \sin \varphi + x'_{10} \cos \varphi] - \pi s \sin 2\varphi \frac{s\varphi}{r} \end{aligned} \quad (13)$$

(производные  $x'_i, z'_i$  взяты в точках, где начинается область однородного поля каждого из соленоидов). Используя преобразование

$$\begin{pmatrix} x'_i \\ z'_i \end{pmatrix} = \begin{pmatrix} a_i & b_i \\ c_i & d_i \end{pmatrix} \begin{pmatrix} x_i \\ z_i \end{pmatrix}$$

где  $a_i, b_i, c_i, d_i$  — элементы соответствующих матриц перехода,  $x_i, x'_i$  — радиальные координаты и угол в точке  $\theta = 0$  на К-обороте, и представление X-колебаний в виде (10, 11), найдем, что

$$\delta S_2^{np} = \left[ C [A|f_1| + B(|f_1|^2 + \frac{i}{|f_1|})] e^{i2\pi V_x K} + \text{к.ч.} \right] + D \frac{s\varphi}{r} \quad (14)$$

(здесь  $|f_1|^2 = \beta_1$  и  $|f_1|^2 = -\alpha_1 / |f_1|$ ,  $\alpha_1 = -\beta_1 / 2$  также относятся к точке  $\theta = 0$ ). Коэффициенты A, B, D имеют вид

$$\begin{pmatrix} A \\ B \end{pmatrix} = \sqrt{\varphi} \left[ \begin{pmatrix} a_2 \\ b_2 \end{pmatrix} + \sin \varphi \begin{pmatrix} c_4 + c_{10} \\ d_4 + d_{10} \end{pmatrix} - \cos \varphi \begin{pmatrix} a_4 - a_{10} \\ b_4 - b_{10} \end{pmatrix} + \sin 2\varphi \begin{pmatrix} c_8 \\ d_8 \end{pmatrix} + \cos 2\varphi \begin{pmatrix} a_8 \\ b_8 \end{pmatrix} \right] \quad (15)$$

$$D = -\pi s \sin 2\varphi + \sqrt{\varphi} \left[ -\psi'_{x2} + \psi'_{z4} \sin \varphi - \psi''_{x4} \cos \varphi + \psi'_{z8} \sin 2\varphi + \psi'_{x8} \cos 2\varphi + \psi'_{z10} \sin \varphi + \psi'_{x10} \cos \varphi \right]$$

Найдем сумму

$$\frac{\delta r}{r} T = \sum_{k=1}^N \delta S_k^{np} e^{-i2\pi V_0 k}$$

Подставляя сюда  $\delta S_k^{np}$  в виде (14), получим

$$Re(T) = -\frac{|C_1|}{2\sqrt{\beta_1} \sin \pi(V_x + V_0) \sin \pi(V_x - V_0)} \left\{ (A_{\beta_1} - B_{\alpha_1}) [\cos \phi_0 \cos 2\pi V_0 - \cos(2\pi V_x + \phi_0)] + B [\sin(2\pi V_x + \phi_0) - \sin \phi_0 \cos 2\pi V_0] \right\} - \frac{1}{2} D \quad (16)$$

$$Im(T) = -\frac{|C_1|}{2\sqrt{\beta_1} \sin \pi(V_x + V_0) \sin \pi(V_x - V_0)} \left\{ -(A_{\beta_1} - B_{\alpha_1}) \sin 2\pi V_0 \cos \phi_0 + B \sin \phi_0 \sin 2\pi V_0 \right\} - \frac{1}{2} \operatorname{ctg} \pi V_0 D$$

Из формул (4, 5) с учетом (12) имеем

$$P_x = -Re(T) \sin \chi_0 \quad (16)$$

$$P_y = Re(T) \cos \chi_0$$

$$P_z = 0$$

$$Q_x = -Im(T) \sin \chi_0$$

$$Q_y = Im(T) \cos \chi_0$$

$$Q_z = 0$$

$$\gamma \frac{d n_x}{d r} = -P_x + Q_y$$

$$\gamma \frac{d n_y}{d r} = -P_y - Q_x$$

$$\gamma \frac{d n_z}{d r} = 0$$

$$(\gamma \frac{d \vec{n}}{d r})^2 = |T|^2$$

В случае, если  $\theta_0$  находится в магните МД (недовррот спина вокруг оси  $Z$  до полного угла  $\pi$  в этой точке равен  $\alpha$  - см. Рис. II.4), то величина  $\delta \vec{S}_k$  определяется суммой вкладов от отдельных частей экспериментального промежутка. Вклад  $\alpha$ -части МД равен

$$R_z(\pi-\alpha) R_y(2\varphi) R_z(2\pi V - \pi) R_y(2\varphi) \delta \vec{S}^\alpha$$

вклад вставки II

$$R_z(\pi-\alpha) R_y(2\varphi) R_z(2\pi V - \pi) \delta \vec{S}^{\text{II}}$$

вклад вставки III

$$R_z(\pi-\alpha) \delta \vec{S}^{\text{I}}$$

вклад  $(\pi-\alpha)$  - части МД

$$(\delta \vec{S}^\alpha, \delta \vec{S}^{\text{II}}, \delta \vec{S}^{\text{I}}, \delta \vec{S}^{\pi-\alpha})$$

( $\delta \vec{S}^\alpha, \delta \vec{S}^{\text{II}}, \delta \vec{S}^{\text{I}}, \delta \vec{S}^{\pi-\alpha}$  - изменение спина при прохождении частицей соответствующей части промежутка). Суммарное имеем изменения спина на обороте

$$\begin{aligned} \delta S_1(k) = & (-\cos \alpha \cos 2\varphi \sin 2\pi V + \sin \alpha \cos 2\pi V) \left[ -d \sin 2\varphi \frac{\delta r}{r} + E_1(k) \right] + \\ & + \frac{\delta r}{r} \left\{ 2\varphi [\cos \alpha \cos 2\varphi (1 - \cos 2\pi V) - \sin \alpha \sin 2\pi V] - \right. \\ & \left. - (\pi - \alpha) \sin \alpha \sin 2\varphi \right\} - \sin \alpha E_2(k) \end{aligned}$$

$$\begin{aligned} \delta S_2(k) = & (\sin \alpha \cos 2\varphi \sin 2\pi V + \cos \alpha \cos 2\pi V) \left[ -d \sin 2\varphi \frac{\delta r}{r} + E_1(k) \right] + \\ & + \frac{\delta r}{r} \left\{ -2\varphi [\sin \alpha \cos 2\varphi (1 - \cos 2\pi V) + \cos \alpha \sin 2\pi V] - \right. \\ & \left. - (\pi - \alpha) \cos \alpha \sin 2\varphi \right\} - \cos \alpha E_2(k) \end{aligned} \quad (18)$$

$$\begin{aligned} \delta S_3(k) = & -\sin 2\varphi \sin 2\pi V \left[ -d \sin 2\varphi \frac{\delta r}{r} + E_1(k) \right] + \\ & + 2\varphi \sin 2\varphi (1 - \cos 2\pi V) \frac{\delta r}{r} \end{aligned}$$

Функции  $E_{1,2}(K)$  выражаются через производные  $X'_i, Z'_i$ , взятые в нескольких точках экспериментального промежутка и зависящие от номера оборота  $K$ :

$$E_1(K) = \nu [-\sin 2\varphi X'_o(K-1) + \varphi (\sin 2\varphi Z'_8(K) + \cos 2\varphi X'_8(K)) + \sin \varphi Z'_{10}(K) + \cos \varphi X'_{10}(K)] \quad (19)$$

$$E_2(K) = \nu [-\sin 2\varphi X'_o(K) - \varphi (-X'_2(K) + \sin \varphi Z'_4(K) - \cos \varphi X'_4(K))]$$

Величины  $X'_i, Z'_i, i=2,4,8,10$  относятся к точкам в соленоидах (см. Рис. 12), где в них начинается область однородного поля. Производные  $X'_o(K)$  и  $X'_o(K-1)$  взяты в точке с азимутом  $\theta_o$  в МД, где произошел скачок энергии, и отличаются номером оборота.

Покажем, что вклад в (18) членов, содержащих  $X'_o(K)$  и  $X'_o(K-1)$  исчезает при суммировании по оборотам. Обозначим этот вклад через  $\vec{\Delta}(K)$ . Тогда для первых двух оборотов, совершенных после скачка энергии, можно записать сумму их вкладов, используя (1):

$$\begin{aligned} \cos 2\pi V_o \vec{\Delta}(1) + \vec{n} \times \vec{\Delta}(1) \sin 2\pi V_o + \vec{\Delta}(2) &= \\ &= \nu 8 \sin 2\varphi (\vec{e}_1 \sin \alpha + \vec{e}_2 \cos \alpha) X'_o(2) \end{aligned}$$

Для вычисления последней суммы учтено, что  $X'_o=0$  в момент скачка, и подставлены проекции вектора  $\vec{n}$  в точке  $\theta_o$ . (см. приложение I), равные:

$$n_x = -\cos \alpha \sin 2\varphi, n_y = \sin \alpha \sin 2\varphi, n_z = \cos 2\varphi$$

Нетрудно далее показать, что сумма вкладов  $N$  оборотов всегда будет равна  $\vec{\Delta}_N = \nu 8 \sin 2\varphi (\vec{e}_1 \sin \alpha + \vec{e}_2 \cos \alpha) X'_o(N)$  и вследствие радиационного затухания при  $2\pi \lambda N \gg 1$

$$X'_o(N) \rightarrow 0, \Delta_N \rightarrow 0$$

Таким образом, радиальные колебания в магните МД, где  $\vec{n}$  отклонено от вертикали, не дают вклада в интегральные изменения сина в нем самом, подобно тому, как это имеет место в полу-кольцах, где  $n_z = 1$ . Этот результат является общим для случая, когда вертикальное движение учитывается только на вставках, в которых модализована связь поперечных колебаний и не содержатся магнитов с поперечным к скорости полем (см. работу [1]).

Произведя алгебраизацию выражений для  $\vec{oS}_j(K)$  (18) с учетом высказанного, получим

$$\vec{oS}_j(K) = \frac{\delta \varphi}{\delta} \left\{ C \left[ A_j |f_1| + B_j \left( |f_1| + \frac{i}{|f_1|} \right) \right] e^{i 2\pi V_o K} + K.C \right\} + D_j \frac{\delta \varphi}{\delta} \quad j = 1, 2, 3 (x, y, z)$$

$$\begin{pmatrix} A_1 \\ B_1 \end{pmatrix} = \left( -\cos \alpha \cos 2\varphi \sin 2\pi V_o + \sin \alpha \cos 2\pi V_o \right) \begin{pmatrix} F_A \\ F_B \end{pmatrix} - \sin \alpha \begin{pmatrix} G_A \\ G_B \end{pmatrix}$$

$$\begin{pmatrix} A_2 \\ B_2 \end{pmatrix} = \left( \sin \alpha \cos 2\varphi \sin 2\pi V_o + \cos \alpha \cos 2\pi V_o \right) \begin{pmatrix} F_A \\ F_B \end{pmatrix} - \cos \alpha \begin{pmatrix} G_A \\ G_B \end{pmatrix}$$

$$\begin{pmatrix} A_3 \\ B_3 \end{pmatrix} = -\sin 2\varphi \sin 2\pi V_o \begin{pmatrix} F_A \\ F_B \end{pmatrix}$$

$$\begin{aligned} D_1 &= (-\cos \alpha \cos 2\varphi \sin 2\pi V_o + \sin \alpha \cos 2\pi V_o) (-\alpha \sin 2\varphi + F_D) + \\ &+ 2\varphi [\cos \alpha \cos 2\varphi (1 - \cos 2\pi V_o) - \sin \alpha \sin 2\pi V_o] - \\ &- (\pi - \alpha) \sin \alpha \sin 2\varphi - \sin \alpha G_D \end{aligned}$$

$$\begin{aligned} D_2 &= (\sin \alpha \cos 2\varphi \sin 2\pi V_o + \cos \alpha \cos 2\pi V_o) (-\alpha \sin 2\varphi + F_D) - \\ &- 2\varphi [\sin \alpha \cos 2\varphi (1 - \cos 2\pi V_o) + \cos \alpha \sin 2\pi V_o] - \\ &- (\pi - \alpha) \cos \alpha \sin 2\varphi - \cos \alpha G_D \end{aligned}$$

$$D_3 = -\sin 2\varphi \sin 2\pi V_o (-\alpha \sin 2\varphi + F_D) + 2\varphi \sin 2\varphi (1 - \cos 2\pi V_o)$$

где коэффициенты  $F_A, F_B, F_D, G_A, G_B, G_D$ , имеют вид:

$$\begin{pmatrix} F_A \\ F_B \end{pmatrix} = \nu \varphi \left[ \sin 2\varphi \begin{pmatrix} C_8 \\ d_8 \end{pmatrix} + \cos 2\varphi \begin{pmatrix} a_8 \\ b_8 \end{pmatrix} + \sin \varphi \begin{pmatrix} C_{10} \\ d_{10} \end{pmatrix} + \cos \varphi \begin{pmatrix} a_{10} \\ b_{10} \end{pmatrix} \right]$$

$$\begin{pmatrix} G_A \\ G_B \end{pmatrix} = \nu \varphi \left[ \begin{pmatrix} a_2 \\ b_2 \end{pmatrix} - \sin \varphi \begin{pmatrix} C_4 \\ d_4 \end{pmatrix} + \cos \varphi \begin{pmatrix} a_4 \\ b_4 \end{pmatrix} \right]$$

Приложение III

$$F_0 = \nu\varphi (\sin 2\varphi \Psi'_{zg} + \cos 2\varphi \Psi'_{xg} + \sin \varphi \Psi'_{zio} + \cos \varphi \Psi'_{xio})$$

$$G_0 = \nu\varphi (\Psi'_{x_2} - \sin \varphi \Psi'_{z_4} + \cos \varphi \Psi'_{x_4}).$$

Суммируя по оборотам (3), получим выражения, которые являются обобщением (16)

$$\begin{aligned} P_j &= -\frac{|C|}{2\sqrt{\beta_1} \sin \pi(V_x - V_0) \sin \pi(V_x + V_0)} \left\{ (A_j \beta_1 - B_j \alpha_j) [\cos \Phi_0 \cos 2\pi V_0 - \cos(2\pi V_x + \Phi_0)] + \right. \\ &\quad \left. + B_j [\sin(2\pi V_x + \Phi_0) - \sin \Phi_0 \cos 2\pi V_0] \right\} - \frac{1}{2} D_j \end{aligned}$$

$$\begin{aligned} \alpha_j &= -\frac{|C|}{2\sqrt{\beta_1} \sin \pi(V_x - V_0) \sin \pi(V_x + V_0)} \left\{ -(A_j \beta_1 - B_j \alpha_j) \sin 2\pi V_0 \cos \Phi_0 + \right. \\ &\quad \left. + B_j \sin \Phi_0 \sin 2\pi V_0 \right\} - \frac{1}{2} \operatorname{ctg} \pi V_0 D_j \end{aligned} \quad (20)$$

$$j = x, y, z$$

$$r \frac{d\vec{n}}{dr} = -(\vec{P} + \vec{n} \times \vec{Q})$$

Полученные формулы (20) для вычисления параметра спин-орбитальной связи в магните МД, где спин может быть направлен произвольно в зависимости от параметров  $\varphi$  и  $\alpha$ , носят общий характер для любых схем, в которых возбуждение бетатронных колебаний квантовыми флуктуациями в магнитах происходит только по радиусу, а вертикальное движение учитывается внутри вставок с локальной связью поперечных степеней свободы. Коэффициенты  $A_j$ ,  $B_j$ ,  $D_j$  рассчитываются при получении выражения для  $\delta \omega_k$ .

Деполяризующие факторы для обычного накопителя с поперечной поляризацией рассмотрены в [8]. Следуя этой работе, запишем в первом порядке величин  $\frac{\delta\omega}{\omega}$ ,  $X$ ,  $Z$  выражение для частоты прецессии  $\tilde{\omega}$  спина неравновесной частицы в базисе, связанном со скоростью (см. приложение II):

$$\begin{aligned} w_1 &= \nu Z'' \\ w_2 &= (\mathcal{K}Z)' - (H_x X)' \\ w_3 &= \nu \mathcal{K}(1 + \frac{\delta\omega}{\omega}) - \nu X'' \end{aligned} \quad (1)$$

$H_x$  – радиальное поле в единицах среднего поля накопителя. С учетом замены  $Z \rightarrow Z_0 + Z$  ( $Z_0$  – искажения замкнутой орбиты, а  $Z$  – свободные колебания по вертикали) для величин  $X$  и  $Z$  имеют место уравнения:

$$\begin{aligned} X'' + g_x X &= \mathcal{K} \frac{\delta\omega}{\omega} \\ Z_0'' + g_z Z_0 &= -H_x \\ Z'' + g_z Z &= H_x \frac{\delta\omega}{\omega} + \alpha X \end{aligned} \quad (2)$$

где  $\alpha = -\frac{\partial H_x}{\partial X}$  в единицах среднего поля. В (2) пренебрегается вкладом члена  $\alpha Z$  в  $X$ -движение \*). Кроме того, мы здесь не рассматриваем радиальные искажения орбиты, т.к. их учет приводит просто к когерентному сдвигу эффективной частоты прецессии спина. Используя форму Флоке, имеем из (2):

$$\begin{aligned} Z &= A_z f_z + A_z^* f_z^* \\ A_z' &= \frac{1}{2i} (H_x \frac{\delta\omega}{\omega} + \alpha X) f_z^* \end{aligned} \quad (3)$$

\*) Справедливо для случая, когда не происходит значительного возбуждения вертикального размера пучка (например, вдали от линейного резонанса связи  $X$ - и  $Z$ -колебаний, или при компенсации этого резонанса специальными повернутыми линзами)

$$x = A_x f_x + A_x^* f_x^*$$

$$A_x = \frac{1}{2i} \mathcal{K} \frac{\delta\gamma}{\gamma} f_x^*$$

или

$$x = \frac{\delta\gamma}{\gamma} (C_0 f_x + C_0^* f_x^*) + \Psi_x \frac{\delta\gamma}{\gamma}$$

$\Psi_x(\theta)$  - дисперсионная функция,  $C_0$  определена в приложении II.

Для  $\nu \gg 1$  в (1) можно положить  $w_2 = 0$ . Тогда решение уравнения для спина имеет вид ( $S_3 \equiv S_z = I$ ):

$$\eta(\theta) = e^{i\tilde{w}_3} \eta(\theta_0) - i e^{i\tilde{w}_3} \int_{\theta_0}^{\theta} w_1 e^{-i\tilde{w}_3} d\theta' \quad (4)$$

где  $\eta(\theta) = S_1(\theta) + iS_2(\theta)$ ,  $\tilde{w}_3 = \int w_3 d\theta'$ .

Вертикальные искажения орбиты  $Z_0$  приводят к отклонению вектора  $\vec{n}$  от вертикали. Из (4) получаем периодическое решение для поперечных к ведущему полю компонент спина  $\eta_0(\theta) = \eta_0(\theta + 2\pi)$

$$\eta_0(\theta) = \frac{i\nu e^{i\nu \tilde{\mathcal{K}}}}{1 - e^{i2\pi\nu}} \int_0^{\theta+2\pi} Z_0'' e^{-i\nu \tilde{\mathcal{K}}} d\theta' \quad (5)$$

где  $\tilde{\mathcal{K}}(\theta) = \int_0^\theta \mathcal{K} d\theta'$ .

Параметр спин - орбитальной связи найдется из (см. приложение II):

$$r \frac{\partial}{\partial r} (n_x + i n_y) \frac{\delta\gamma}{\gamma} = - \sum_{k=1}^{\infty} \Delta_k e^{-i2\pi k\nu} \quad (6)$$

$\Delta_k = \Delta \eta_k$  - изменение поперечных компонент спина на  $k$ -обороте, связанное с воздействием дополнительных полей на неравновесную частицу. Используя разложение

$$e^{i\tilde{w}_3} \approx e^{i\nu [\tilde{\mathcal{K}}(\theta) - \tilde{\mathcal{K}}(\theta_0)]} [1 + i\nu (\frac{\tilde{\mathcal{K}} \delta\gamma}{\gamma} - x')] \Big|_{\theta_0}^{\theta}$$

и то обстоятельство, что время релаксации энергии частицы к равновесному значению много больше периода обращения, найдем из (4):

$$\begin{aligned} \Delta_k(\theta) = & i\nu [2\pi(\frac{\delta\gamma}{\gamma})_k - \Delta x'_k] \eta_0(\theta) e^{i2\pi\nu} - \\ & - \nu^2 (\frac{\delta\gamma}{\gamma})_k e^{i\nu(2\pi+\tilde{\mathcal{K}})} \left[ \int_0^{\theta+2\pi} Z_0'' \tilde{\mathcal{K}} e^{-i\nu \tilde{\mathcal{K}}} d\theta' - \tilde{\mathcal{K}} \int_0^{\theta+2\pi} Z_0'' e^{-i\nu \tilde{\mathcal{K}}} d\theta' \right] + \\ & + \nu^2 e^{i\nu(2\pi+\tilde{\mathcal{K}})} \int_0^{\theta+2\pi} Z_0'' \Delta x'_k e^{-i\nu \tilde{\mathcal{K}}} d\theta' - \\ & - i\nu e^{i\nu(2\pi+\tilde{\mathcal{K}})} \int_0^{\theta+2\pi} Z_k'' e^{-i\nu \tilde{\mathcal{K}}} d\theta', \quad \Delta x'_k = x'_k(\theta) - x'_k(\theta_0) \end{aligned} \quad (7)$$

индекс  $K$  показывает, что соответствующая величина берется на  $K$ -обороте с момента скачка энергии. Рассмотрим вклад в (6) возмущений, связанных с радиальным градиентом  $\mathcal{K}(\theta)$  (последнее слагаемое в (7))

$$\begin{aligned} r \frac{\partial}{\partial r} (n_x + i n_y) &= i\nu \sum_{k=1}^{\infty} e^{i\nu [\tilde{\mathcal{K}} - 2\pi(k-1)]} \int_0^{\theta+2\pi} Z_k'' e^{-i\nu \tilde{\mathcal{K}}} d\theta' = \\ &= i\nu e^{i\nu \tilde{\mathcal{K}}} \int_0^{\theta+2\pi} Z'' e^{-i\nu \tilde{\mathcal{K}}} d\theta' = \\ &= -\nu^2 e^{i\nu \tilde{\mathcal{K}}} \int_0^{\theta+2\pi} Z' \mathcal{K} e^{-i\nu \tilde{\mathcal{K}}} d\theta' \end{aligned} \quad (8)$$

(использовано свойство  $Z'(\theta_0) = Z'(\infty) = 0$ ). Так как (см. (2))

$$A_z' f_z + A_z^{*\prime} f_z^* \equiv 0$$

то интегрируя (8) по частям, получим ( $A_z'(\theta_0) = A_z'(\infty) = 0$ ):

$$\frac{\partial}{\partial r}(n_x + i n_y) = v^2 e^{iv\tilde{\chi}} \int_{\theta}^{\theta'} [A_z' \int_{-\infty}^{\theta} f_z' \mathcal{K} e^{-iv\tilde{\chi}} d\theta'' + A_z^{*'} \int_{-\infty}^{\theta'} f_z^{*'} \mathcal{K} e^{-iv\tilde{\chi}} d\theta'] d\theta' =$$

(9)

$$= \frac{i v^2}{2} e^{iv\tilde{\chi}} \int_{\theta}^{\theta'} \alpha x [f_z' \int_{-\infty}^{\theta} f_z^{*'} \mathcal{K} e^{-iv\tilde{\chi}} d\theta'' - f_z^{*'} \int_{-\infty}^{\theta'} f_z' \mathcal{K} e^{-iv\tilde{\chi}} d\theta''] d\theta'$$

В интегралах  $\int_{-\infty}^{\theta} f_z' \mathcal{K} e^{-iv\tilde{\chi}} d\theta'$  и  $\int_{-\infty}^{\theta'} f_z^{*'} \mathcal{K} e^{-iv\tilde{\chi}} d\theta'$  возникающих при интегрировании по частям и определенных с точностью до аддитивной константы, выбран нижний предел  $-\infty$ . Интегрировать при этом надо с малой добавкой в показателе экспоненты, которая не меняет подинтегральную функцию на физически значимом интервале переменной  $\theta$ . Удобно теперь определить периодическую функцию  $F^v(\theta)$ , как это впервые сделано в [8]:

$$F^v(\theta) = \frac{v}{2} \left( f_z' \int_{-\infty}^{\theta} f_z^{*'} \mathcal{K} e^{-iv\tilde{\chi}} d\theta' - f_z^{*'} \int_{-\infty}^{\theta} f_z' \mathcal{K} e^{-iv\tilde{\chi}} d\theta' \right) e^{iv\theta} =$$

$$= \frac{v}{2} \left[ \frac{f_z' \int_{-\infty}^{\theta} f_z^{*'} \mathcal{K} e^{-iv\tilde{\chi}} d\theta'}{(1 - e^{i \frac{2\pi}{P} (V_z + V)})} - \frac{f_z^{*'} \int_{-\infty}^{\theta} f_z' \mathcal{K} e^{-iv\tilde{\chi}} d\theta'}{(1 - e^{i \frac{2\pi}{P} (V - V_z)})} \right] e^{iv\theta} \quad (10)$$

где  $P$  — число суперпериодов в машине (для ВЭШ-4  $P = 1$ ). Тогда (9) примет вид:

$$\frac{\partial}{\partial r}(n_x + i n_y) = iv e^{iv\tilde{\chi}} \int_{\theta}^{\theta'} \alpha x F^v e^{-iv\theta'} d\theta' \quad (II)$$

Подставляя в (II) в виде (3) получаем после частичного интегрирования

$$\begin{aligned} \frac{\partial}{\partial r}(n_x + i n_y) &= \frac{iv}{2} e^{iv\tilde{\chi}} \left[ C_o [i + ctg\pi(V_x - V)] \int_{\theta}^{\theta+2\pi} \alpha \beta_x F^v e^{i(\mu_x - v\theta')} d\theta' + \right. \\ &\quad \left. + C_o^* [1 - ctg\pi(V_x + V)] \int_{\theta}^{\theta+2\pi} \alpha \beta_x F^v e^{-i(\mu_x + v\theta')} d\theta' + \right. \\ &\quad \left. + (1 - ctg\pi V) \int_{\theta}^{\theta+2\pi} \alpha \psi_x F^v e^{-iv\theta'} d\theta' \right] \end{aligned} \quad (I2)$$

Подобным образом суммируя по оборотам оставшиеся члены в (6), можно найти вклад в  $\frac{\partial}{\partial r}$  от радиального поля  $H_x$ :

$$\begin{aligned} \frac{\partial}{\partial r}(n_x + i n_y) &= e^{iv\tilde{\chi}} \left[ -\frac{\pi v^2}{2} (1 + ctg^2 \pi V) \int_{\theta}^{\theta+2\pi} Z'' e^{-iv\tilde{\chi}} d\theta' + \right. \\ &\quad + \frac{v^2}{2} (1 - ctg\pi V) \left[ \int_{\theta}^{\theta+2\pi} Z'' \mathcal{K} e^{-iv\tilde{\chi}} d\theta' - \int_{\theta}^{\theta+2\pi} Z'' e^{-iv\tilde{\chi}} d\theta' \right] + \\ &\quad + \frac{i v^2}{2} \beta_x \left[ C_o (i - d_x) e^{i\mu_x} (ctg\pi(V_x - V) + ctg\pi V) + C_o^* (i + d_x) e^{-i\mu_x} (ctg\pi(V_x + V) - ctg\pi V) \right] \int_{\theta}^{\theta+2\pi} Z'' e^{-iv\tilde{\chi}} d\theta' - \\ &\quad - \frac{v^2}{2} \left[ C_o (1 + i ctg\pi(V_x - V)) \int_{\theta}^{\theta+2\pi} Z'' \beta_x (i - d_x) e^{i(\mu_x - v\tilde{\chi})} d\theta' - \right. \\ &\quad \left. - C_o^* (1 - i ctg\pi(V_x + V)) \int_{\theta}^{\theta+2\pi} Z'' \beta_x (i + d_x) e^{-i(\mu_x + v\tilde{\chi})} d\theta' + \right. \\ &\quad \left. + (1 - i ctg\pi V) \int_{\theta}^{\theta+2\pi} Z'' \psi_x e^{-iv\tilde{\chi}} d\theta' \right] + \\ &\quad \left. + \frac{i v}{2} (1 - i ctg\pi V) \int_{\theta}^{\theta+2\pi} H_x F^v e^{-iv\theta'} d\theta' \right] \end{aligned} \quad (I3)$$

(первые два члена (I3) можно получить дифференцированием (5) по энергии).

В заключении приведем алгоритм вычисления  $F^v$  и  $\frac{\partial}{\partial r}$ . Удобно представить интегралы в (10) в виде ( $P = 1$ ):

$$\begin{aligned} \frac{\int_{\theta-2\pi}^{\theta} f_z' \mathcal{K} e^{-iv\tilde{\chi}} d\theta'}{(1 - e^{i2\pi(V+V_z)})} &= \frac{\int_{-2\pi}^0 f_z' \mathcal{K} e^{-iv\tilde{\chi}} d\theta'}{(1 - e^{i2\pi(V+V_z)})} + \frac{\int_0^{\theta} f_z' \mathcal{K} e^{-iv\tilde{\chi}} d\theta'}{(1 - e^{i2\pi(V+V_z)})} \\ \frac{\int_{\theta-2\pi}^{\theta} f_z^{*'} \mathcal{K} e^{-iv\tilde{\chi}} d\theta'}{(1 - e^{i2\pi(V-V_z)})} &= \frac{\int_{-2\pi}^0 f_z^{*'} \mathcal{K} e^{-iv\tilde{\chi}} d\theta'}{(1 - e^{i2\pi(V-V_z)})} + \frac{\int_0^{\theta} f_z^{*'} \mathcal{K} e^{-iv\tilde{\chi}} d\theta'}{(1 - e^{i2\pi(V-V_z)})} \end{aligned}$$

Это позволяет убыстрить счет при дискретном интегрировании в  $n/2$  раз, где  $n$  - число элементов, в которых надо найти  $F^V$ . Введем обозначения ( $f_z = \beta_z^{1/2} e^{i\mu_z}$ ,  $\alpha_z = -\frac{1}{2} \beta_z^i$ ):

$$S_{F1}(\theta) = - \int_0^\theta \zeta \beta_z^{-1/2} [-\alpha_z \cos(\mu_z + v\tilde{\zeta}) - \sin(\mu_z + v\tilde{\zeta})] d\theta' \quad (I4)$$

$$S_{F2}(\theta) = - \int_0^\theta \zeta \beta_z^{-1/2} [\cos(\mu_z + v\tilde{\zeta}) - \alpha_z \sin(\mu_z + v\tilde{\zeta})] d\theta'$$

$$S_{F3}(\theta) = - \int_0^\theta \zeta \beta_z^{-1/2} [-\alpha_z \cos(\mu_z - v\tilde{\zeta}) - \sin(\mu_z - v\tilde{\zeta})] d\theta'$$

$$S_{F4}(\theta) = - \int_0^\theta \zeta \beta_z^{-1/2} [\cos(\mu_z - v\tilde{\zeta}) - \alpha_z \sin(\mu_z - v\tilde{\zeta})] d\theta'$$

$$\mathfrak{S}_{Fj} = S_{Fj}(-2\pi), \quad j = 1, 2, 3, 4$$

$$\bar{S}_{F1} = \frac{1}{2} (\mathfrak{S}_{F1} + \mathfrak{S}_{F2} \operatorname{ctg} \pi(v + v_z)) - S_{F1}$$

$$\bar{S}_{F2} = \frac{1}{2} (\mathfrak{S}_{F1} \operatorname{ctg} \pi(v + v_z) - \mathfrak{S}_{F2}) + S_{F2}$$

$$\bar{S}_{F3} = \frac{1}{2} (\mathfrak{S}_{F3} - \mathfrak{S}_{F4} \operatorname{ctg} \pi(v - v_z)) - S_{F3}$$

$$\bar{S}_{F4} = \frac{1}{2} (\mathfrak{S}_{F3} \operatorname{ctg} \pi(v - v_z) + \mathfrak{S}_{F4}) - S_{F4}$$

Тогда:

$$\operatorname{Re} F^V(\theta) = \frac{v}{2} \beta_z^{1/2} [\bar{S}_{F1} \cos(\mu_z + v\theta) - \bar{S}_{F2} \sin(\mu_z + v\theta) - \bar{S}_{F3} \cos(\mu_z - v\theta) - \bar{S}_{F4} \sin(\mu_z - v\theta)] \quad (I5)$$

$$\operatorname{Im} F^V(\theta) = \frac{v}{2} \beta_z^{1/2} [\bar{S}_{F2} \cos(\mu_z + v\theta) + \bar{S}_{F1} \sin(\mu_z + v\theta) + \bar{S}_{F3} \sin(\mu_z - v\theta) - \bar{S}_{F4} \cos(\mu_z - v\theta)]$$

График  $|F^V(\theta)|$  для ВЭП-4 приведен на Рис. 8

При вычислении  $\frac{d}{d\theta} \frac{\partial n}{\partial r}$  воспользуемся тем же приемом, что и для  $F^V$  (см. (I2), (I3))

$$S_1 = \int_0^\theta \beta_x^{1/2} \alpha [R_e F^V \cos(\mu_x - v\theta) - I_m F^V \sin(\mu_x - v\theta)] d\theta' \quad (I6)$$

$$S_2 = \int_0^\theta \beta_x^{1/2} \alpha [R_e F^V \sin(\mu_x - v\theta) + I_m F^V \cos(\mu_x - v\theta)] d\theta'$$

$$S_3 = \int_0^\theta \beta_x^{1/2} \alpha [R_e F^V \cos(\mu_x + v\theta) + I_m F^V \sin(\mu_x + v\theta)] d\theta'$$

$$S_4 = \int_0^\theta \beta_x^{1/2} \alpha [I_m F^V \cos(\mu_x + v\theta) - R_e F^V \sin(\mu_x + v\theta)] d\theta'$$

$$S_5 = \int_0^\theta (H_x + \Psi_x \alpha) (R_e F^V \cos v\theta' + I_m F^V \sin v\theta') d\theta'$$

$$S_6 = \int_0^\theta (H_x + \Psi_x \alpha) (I_m F^V \cos v\theta' - R_e F^V \sin v\theta') d\theta'$$

$$S_7 = \int_0^\theta Z_o'' \beta_x^{-1/2} (-\sin(\mu_x - v\tilde{\zeta}) - \alpha_x \cos(\mu_x - v\tilde{\zeta})) d\theta' +$$

$$+ \beta_x^{-1/2} (\sin \mu_x + \alpha_x \cos \mu_x) S_{13} + \beta_x^{-1/2} (\cos \mu_x - \alpha_x \sin \mu_x) S_{14}$$

$$S_8 = \int_0^\theta Z_o'' \beta_x^{-1/2} (\cos(\mu_x - v\tilde{\zeta}) - \alpha_x \sin(\mu_x - v\tilde{\zeta})) d\theta' -$$

$$- \beta_x^{-1/2} (\cos \mu_x - \alpha_x \sin \mu_x) S_{13} + \beta_x^{-1/2} (\sin \mu_x + \alpha_x \cos \mu_x) S_{14}$$

$$S_9 = \int_0^\theta Z_o'' \beta_x^{-1/2} (\sin(\mu_x + v\tilde{\zeta}) + \alpha_x \cos(\mu_x + v\tilde{\zeta})) d\theta' -$$

$$- \beta_x^{-1/2} (\sin \mu_x + \alpha_x \cos \mu_x) S_{13} + \beta_x^{-1/2} (\cos \mu_x - \alpha_x \sin \mu_x) S_{14}$$

$$S_{10} = \int_0^\theta Z_o'' \beta_x^{-1/2} (\cos(\mu_x + v\tilde{\zeta}) - \alpha_x \sin(\mu_x + v\tilde{\zeta})) d\theta' -$$

$$- \beta_x^{-1/2} (\cos \mu_x - \alpha_x \sin \mu_x) S_{13} - \beta_x^{-1/2} (\sin \mu_x + \alpha_x \cos \mu_x) S_{14}$$

$$S_{11} = \int_0^\theta Z'' \Psi'_x \cos v \tilde{\chi} d\theta' - \Psi'_x S_{13}$$

$$S_{12} = - \int_0^\theta Z'' \Psi'_x \sin v \tilde{\chi} d\theta' - \Psi'_x S_{14}$$

$$S_{13} = \int_0^\theta Z'' \cos v \tilde{\chi} d\theta'$$

$$S_{14} = - \int_0^\theta Z'' \sin v \tilde{\chi} d\theta'$$

$$S_{15} = \int_0^\theta Z'' \tilde{\chi} \cos v \tilde{\chi} d\theta'$$

$$S_{16} = - \int_0^\theta Z'' \tilde{\chi} \sin v \tilde{\chi} d\theta'$$

$$\xi_j = S_j(2\pi), \quad j = 1 \div 16$$

$$\bar{S}_1 = \frac{1}{2} (\xi_1 - \xi_2 \operatorname{ctg} \pi(v_x - v)) - S_1$$

$$\bar{S}_2 = \frac{1}{2} (\xi_2 + \xi_1 \operatorname{ctg} \pi(v_x - v)) - S_2$$

$$\bar{S}_3 = \frac{1}{2} (\xi_3 + \xi_4 \operatorname{ctg} \pi(v_x + v)) - S_3$$

$$\bar{S}_4 = \frac{1}{2} (\xi_4 - \xi_3 \operatorname{ctg} \pi(v_x + v)) - S_4$$

$$\bar{S}_5 = \frac{1}{2} (\xi_5 + \xi_6 \operatorname{ctg} \pi v) - S_5$$

$$\bar{S}_6 = \frac{1}{2} (\xi_6 - \xi_5 \operatorname{ctg} \pi v) - S_6$$

$$\bar{S}_7 = \frac{1}{2} (\xi_7 - \xi_8 \operatorname{ctg} \pi(v_x - v)) - S_7$$

$$\bar{S}_8 = \frac{1}{2} (\xi_8 + \xi_7 \operatorname{ctg} \pi(v_x - v)) - S_8$$

$$\bar{S}_9 = \frac{1}{2} (\xi_9 + \xi_{10} \operatorname{ctg} \pi(v_x + v)) - S_9$$

$$\bar{S}_{10} = \frac{1}{2} (\xi_{10} - \xi_9 \operatorname{ctg} \pi(v_x + v)) - S_{10}$$

$$\bar{S}_{11} = \frac{1}{2} (\xi_{11} + \xi_{12} \operatorname{ctg} \pi v) - S_{11}$$

$$\bar{S}_{12} = \frac{1}{2} (\xi_{12} - \xi_{11} \operatorname{ctg} \pi v) - S_{12}$$

$$\bar{S}_{13} = \frac{1}{2} (\xi_{13} + \xi_{14} \operatorname{ctg} \pi v) - S_{13}$$

$$\bar{S}_{14} = \frac{1}{2} (\xi_{14} - \xi_{13} \operatorname{ctg} \pi v) - S_{14}$$

$$\bar{S}_{15} = \frac{1}{2} (\xi_{15} + \xi_{16} \operatorname{ctg} \pi v) - S_{15}$$

$$\bar{S}_{16} = \frac{1}{2} (\xi_{16} - \xi_{15} \operatorname{ctg} \pi v) - S_{16}$$

Вклад  $\tilde{\chi}$  – возмущений в  $\frac{\partial^2 \tilde{\chi}}{\partial r^2}$  равен (общий множитель  $e^{iv\tilde{\chi}}$  не существенен):

Подписи к рисункам

$$\begin{aligned} \gamma \frac{\partial n_x}{\partial \gamma}(\theta) &= -\nu |C_0| [\sin \phi_0 (\bar{S}_1 - \bar{S}_3) + \cos \phi_0 (\bar{S}_2 + \bar{S}_4)] - \nu \bar{S}_6 \\ \gamma \frac{\partial n_y}{\partial \gamma}(\theta) &= \nu |C_0| [\cos \phi_0 (\bar{S}_1 + \bar{S}_3) + \sin \phi_0 (\bar{S}_4 - \bar{S}_2)] + \nu \bar{S}_5 \end{aligned} \quad (I7)$$

Вклад радиального поля равен:

$$\begin{aligned} \gamma \frac{\partial n_x}{\partial \gamma}(\theta) &= \nu^2 \left\{ -\frac{\pi}{2} (1 + \alpha g^2 \pi \nu) \bar{S}_{13} + \bar{S}_{15} - \tilde{K} \bar{S}_{13} - \right. \\ &\quad \left. - |C_0| [\cos \phi_0 (\bar{S}_7 - \bar{S}_9) - \sin \phi_0 (\bar{S}_8 + \bar{S}_{10})] - \bar{S}_{11} \right\} \\ \gamma \frac{\partial n_y}{\partial \gamma}(\theta) &= \nu^2 \left\{ -\frac{\pi}{2} (1 + \alpha g^2 \pi \nu) \bar{S}_{14} + \bar{S}_{16} - \tilde{K} \bar{S}_{14} - \right. \\ &\quad \left. - |C_0| [\cos \phi_0 (\bar{S}_8 - \bar{S}_{10}) + \sin \phi_0 (\bar{S}_7 + \bar{S}_{10})] - \bar{S}_{12} \right\} \end{aligned} \quad (I8)$$

Необходимо следить за тем, чтобы при дискретном интегрировании (I4, I6) шаг интегрирования  $\Delta \theta$  удовлетворял условию

$$\Delta \theta \ll \frac{2\pi}{V_{x,z}} \quad \text{и} \quad \Delta \theta \ll \frac{2\pi}{\nu}$$

Рис.1. Кинематика спина в схеме получения продольной поляризации ( $E = 5 \text{ ГэВ}$ ,  $V_0 = V = 11.3$ ).

Рис.3. Вид  $\beta$ -функций в экспериментальном промежутке (разрывами на чертеже обозначены места расположения вставок с соленоидами).

Рис.4. Требуемая полная апертура камеры на вставке, расположенной слева от MD

Рис.5. Требуемая полная апертура камеры на вставке, расположенной справа от MD

Рис.6. Зависимость степени продольной поляризации  $\sum S_{ii}$  ( $S_{ii} = \sqrt{2}/2$ ) от частоты радиальных бетатронных колебаний  $Q_X$ .

Рис.7. Зависимость времени радиационной поляризации  $T_P$  от частоты  $Q_X$  в схеме получения продольной поляризации при  $E = 5 \text{ ГэВ}$ .

Рис.8. Функция  $F^\nu(\theta)$  для ВЭП-4 ( $V_Z = 9.57$ ).  
а)  $E = 5 \text{ ГэВ}$  ( $V = 11.36$ );  
б)  $E = 4.75 \text{ ГэВ}$  ( $V = 10.79$ ).

Рис.9. Зависимость степени равновесной поляризации от  $V$  ( $V_Z = 9.57$ ,  $V_X = 8.60$ ).  
а) среднеквадратичный разброс углов поворота линз  $10^{-3}$ ;  
б) повернута только линза  $L7$  на угол  $5 \cdot 10^{-4}$ .

Рис.10. Зависимость степени равновесной поляризации от  $V$  ( $V_Z = 9.57$ ,  $V_X = 8.60$ ).  
а) среднеквадратичный разброс вертикальных смещений линз 0,02 см;  $\langle Z_c^2 \rangle^{1/2} \approx 0.13 \text{ см}$   
б) линза  $L7$  смещена на 0,05 см,  $\langle Z_c^2 \rangle^{1/2} = 0.18 \text{ см}$ .

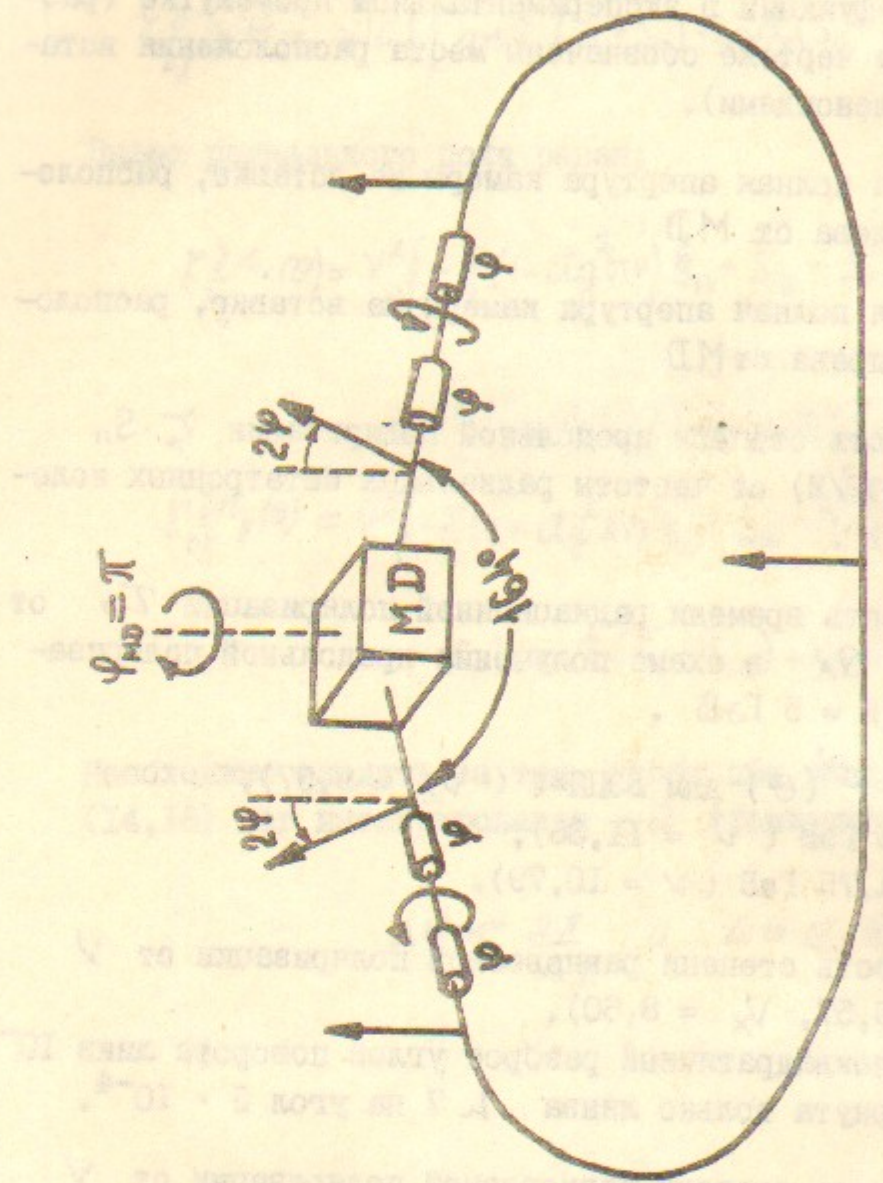


FIG. I

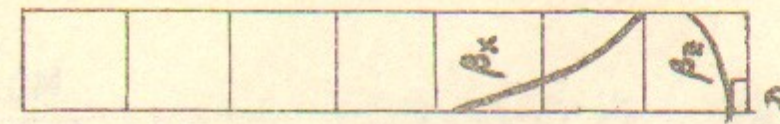
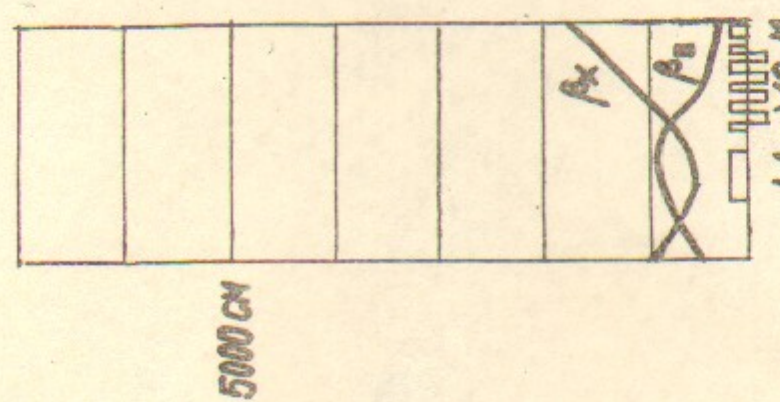
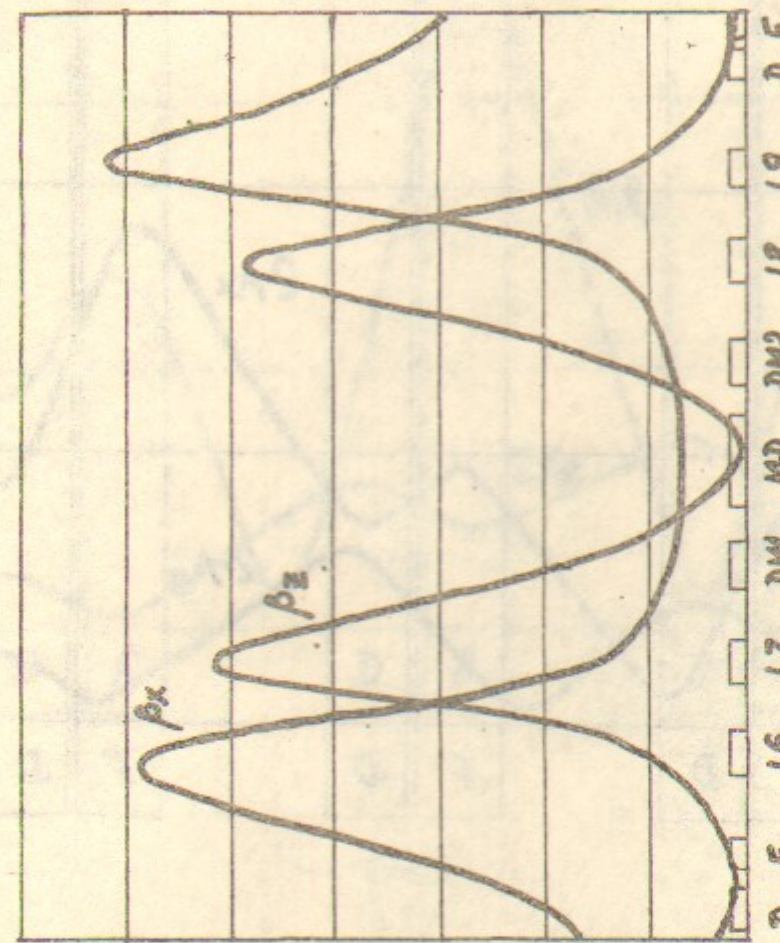


FIG. 3



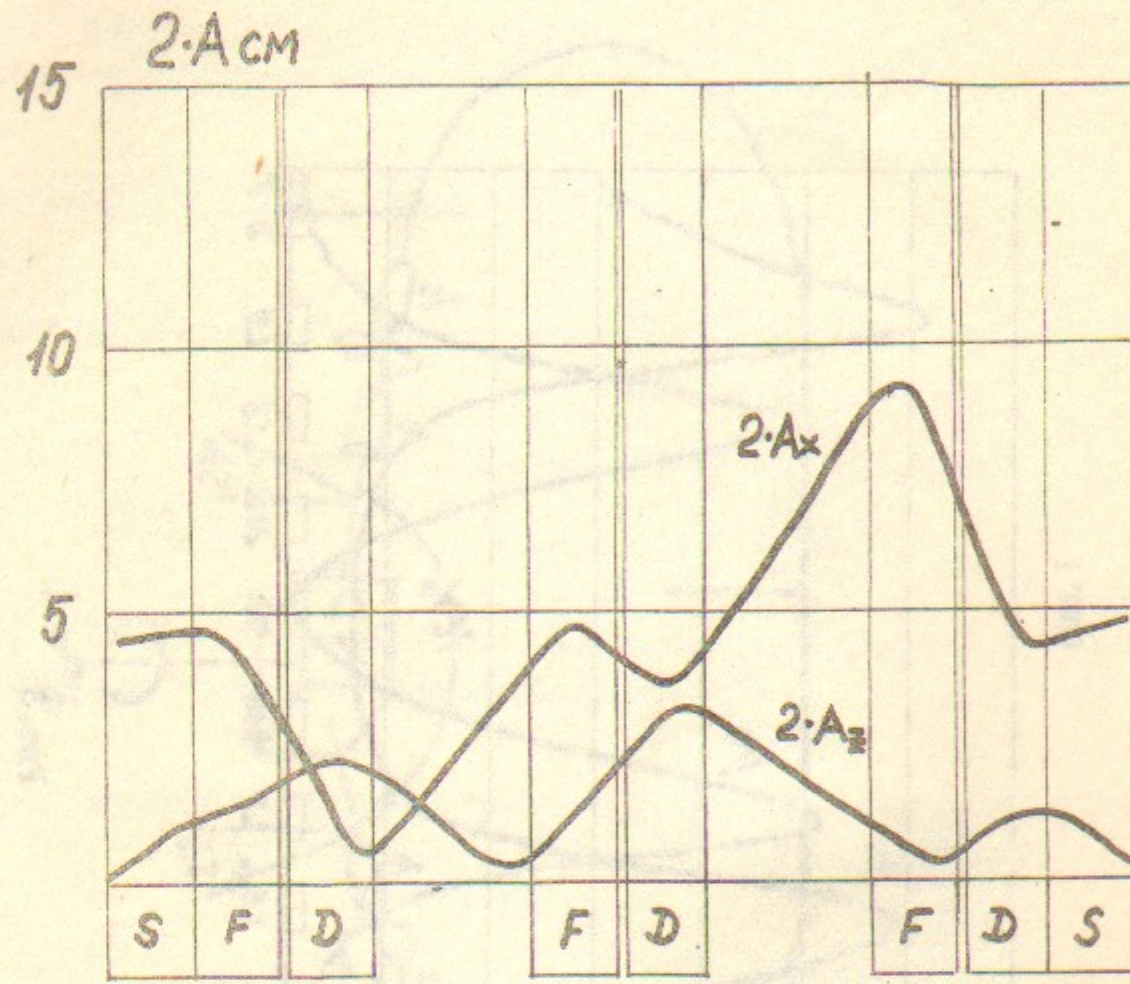


Рис.4

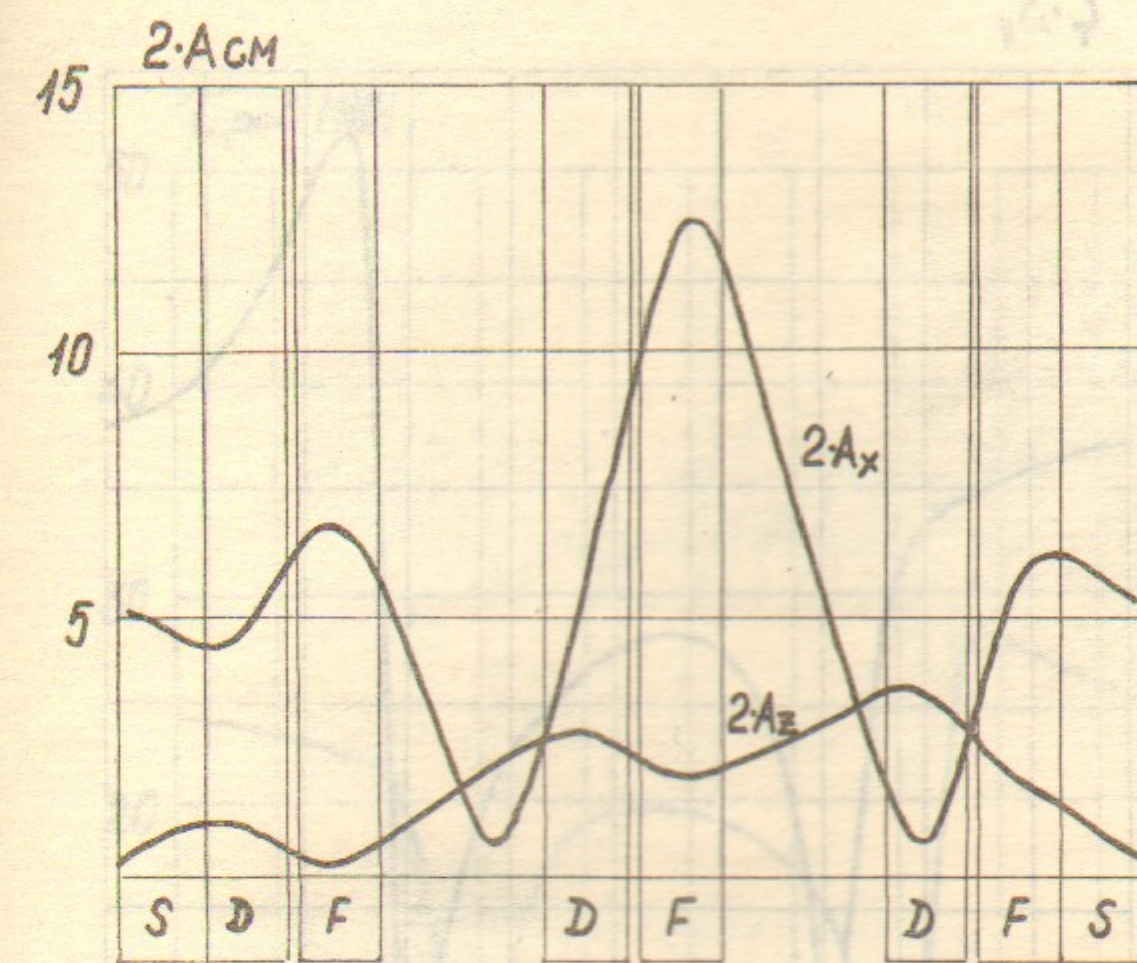


Рис.5

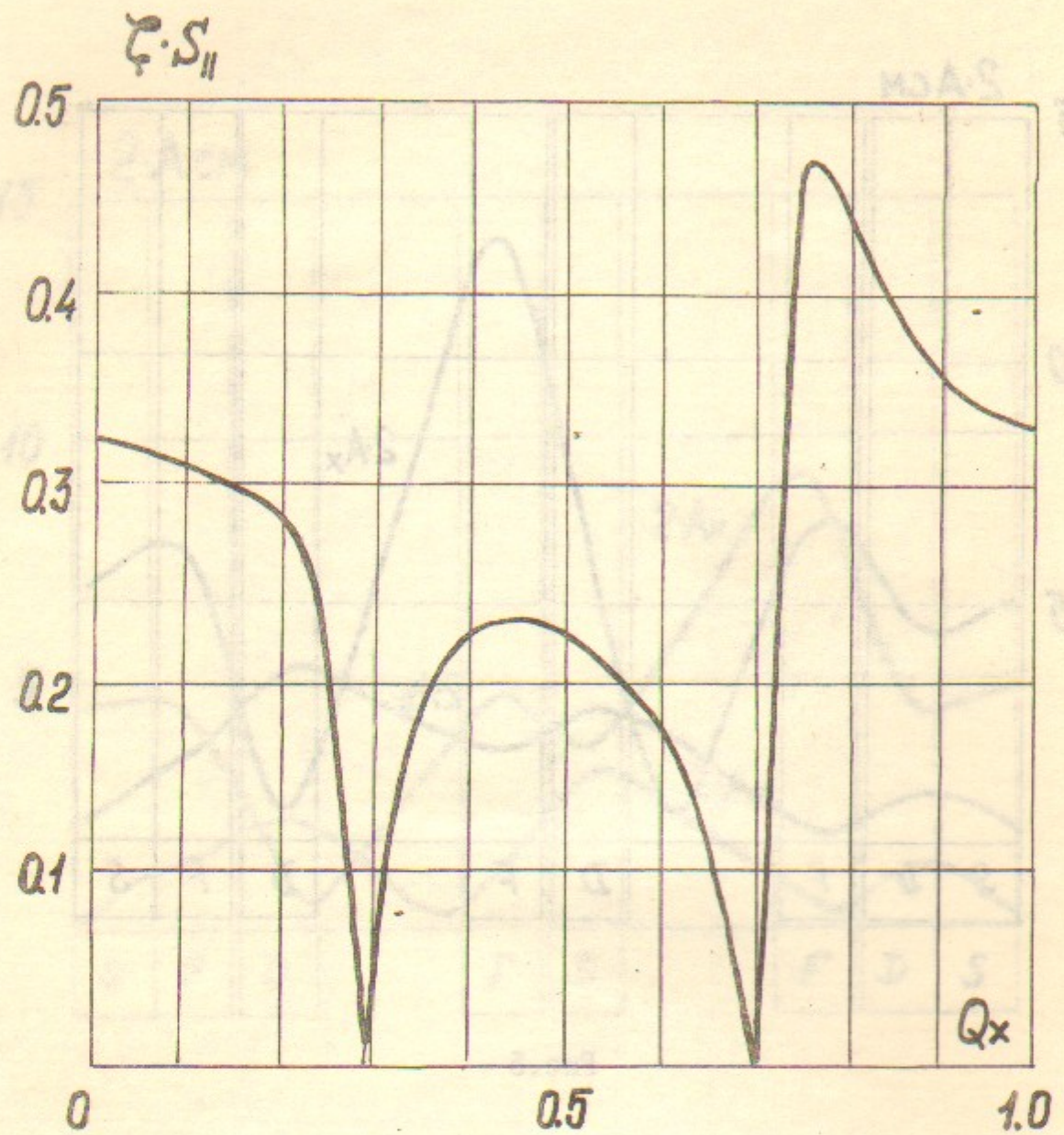


Рис.6

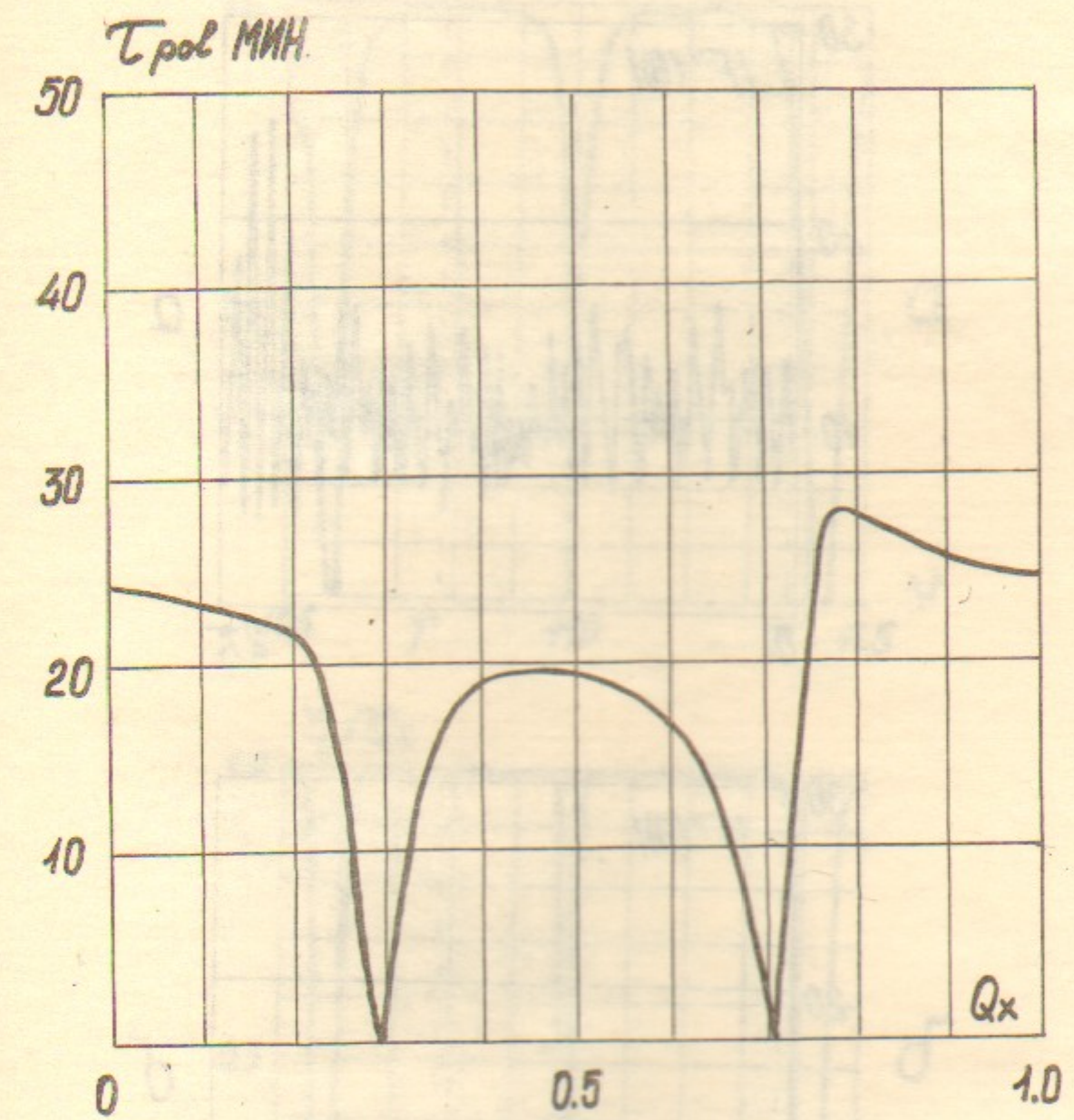
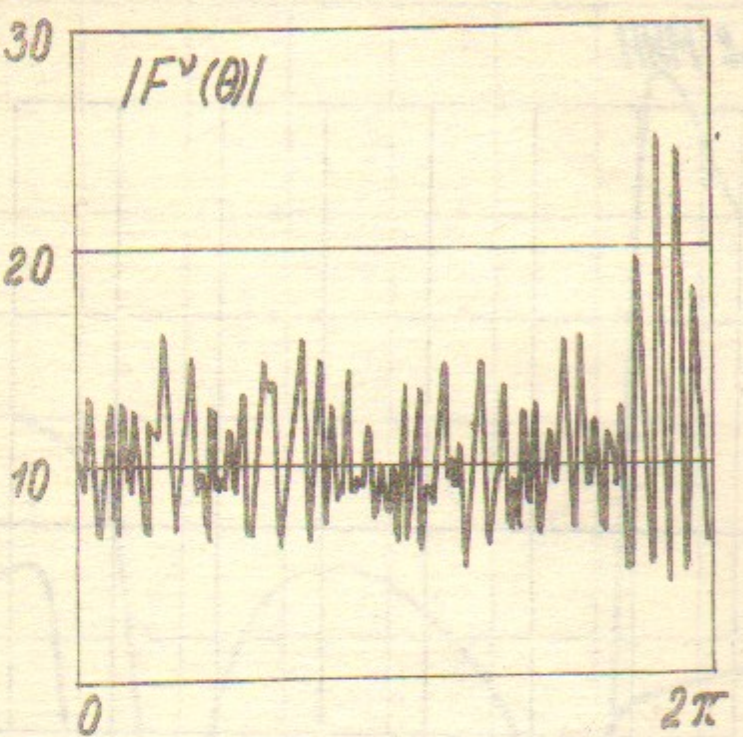
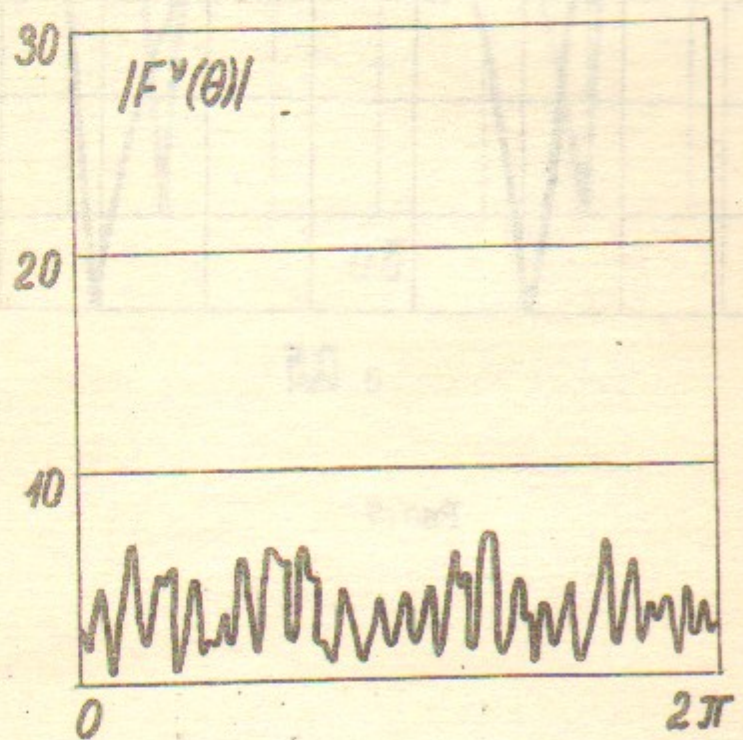


Рис.7

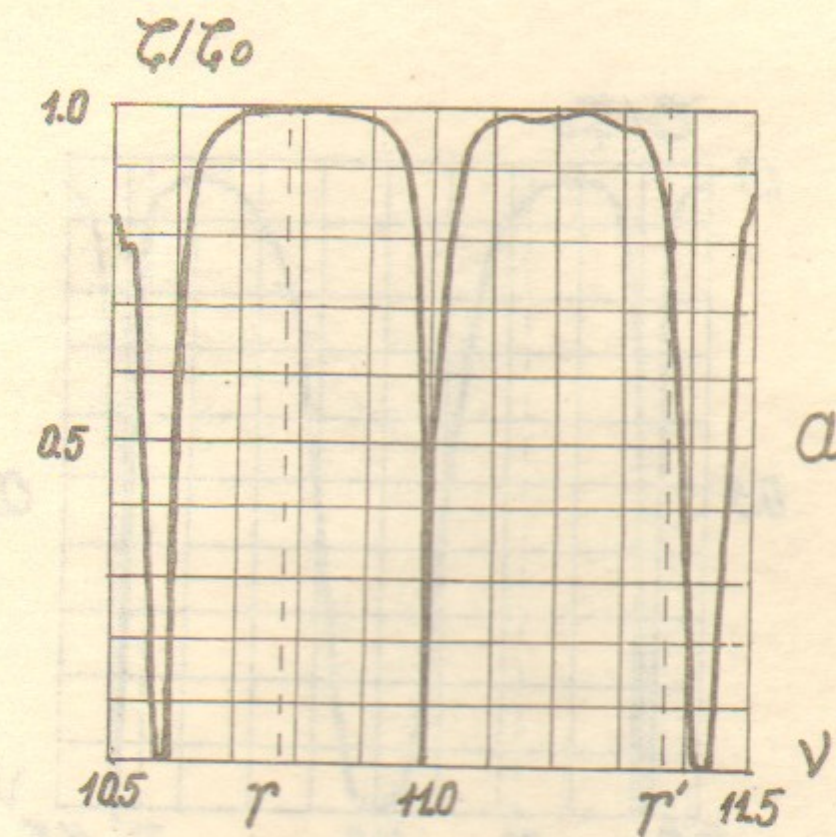


*a*

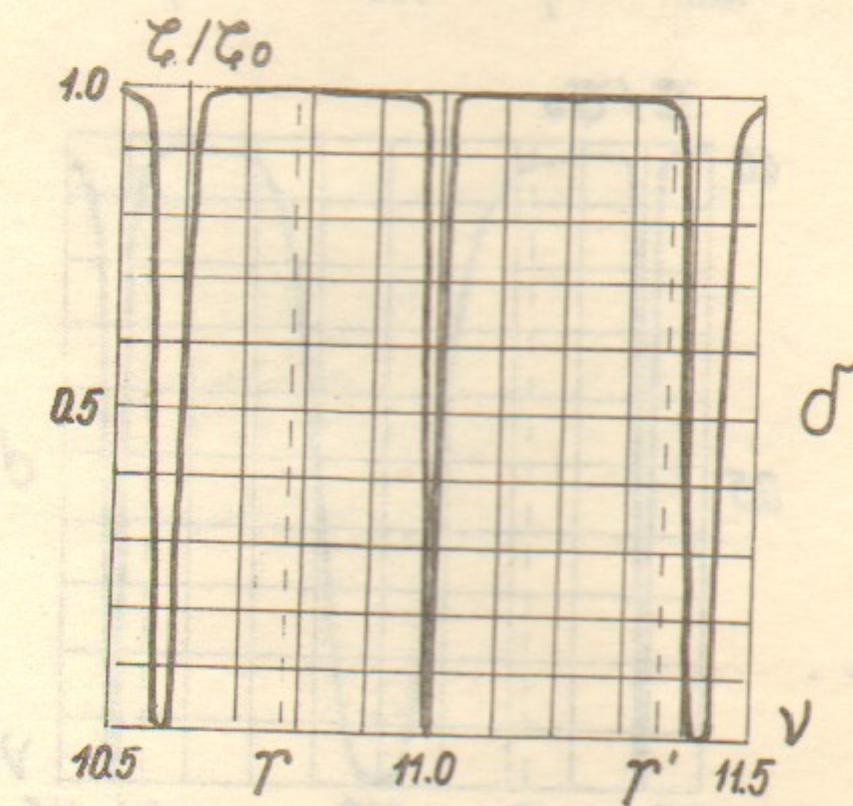


*\delta*

Рис.8



*a*



*\delta*

Рис.9

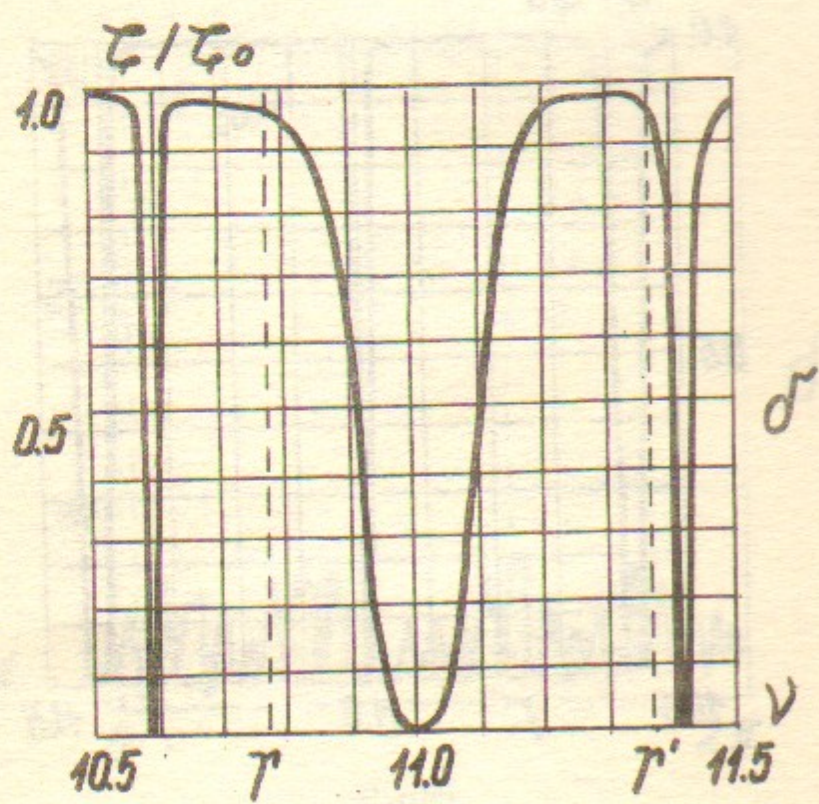
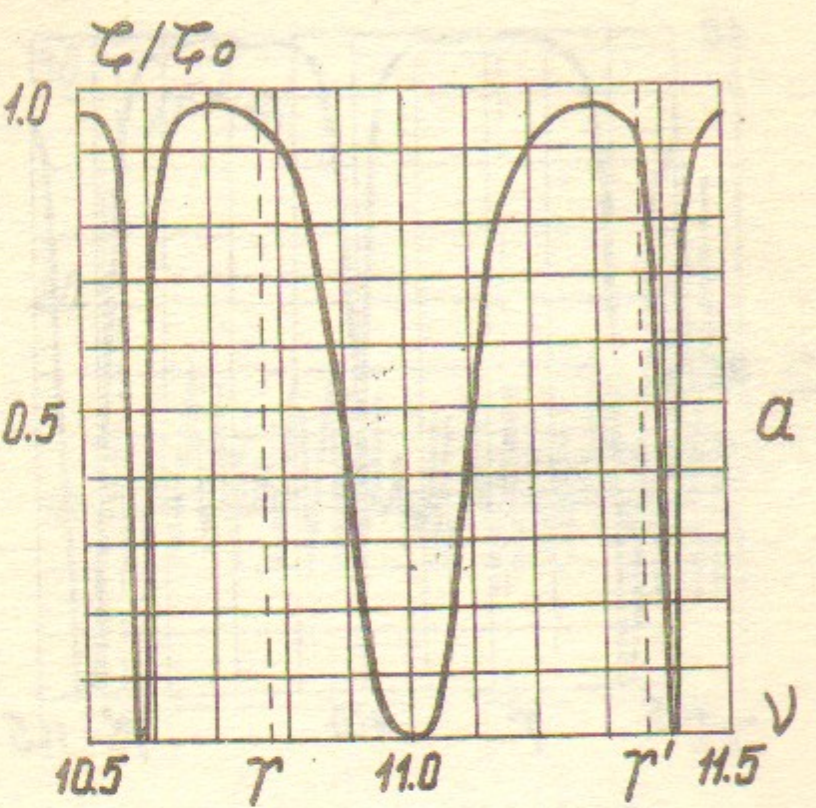


Рис.10